

دانشگاه صنعتی شهرود

دانشکده فیزیک

پایان نامه کارشناسی ارشد فیزیک

گرایش حالت جامد

بررسی خواص الکتریکی سیلیکون متخلخل و تاثیر آن بر عملکرد قطعات نیمرسانا (آشکارسازها با سد شاتکی)

استاد راهنما:

دکتر حسین عشقی

استاد مشاور:

دکتر فرشید رئیسی

عضو هیات علمی دانشکده برق دانشگاه صنعتی خواجه نصیرالدین طوسی

نگارش:

مریم محمدی

۱۳۸۴ بهمن

به مادرم
به خاطر گرمای دست هایش
و پدرم
برای حمایت هایش

تشکر و قدردانی

چون به کار خود فکر می کنم، دریای خوف موج می زند
و چون در کرم او می نگرم همتم سینه به اوج می زند.

قبل از هر چیز خداوند را به خاطر لطف و عنایت بی مثالش شکر گفته که حقیر را در زمرة علم آموزان قرار داد
و سختی ها را بر من آسان نمود. بی شک بدون لطف و عنایت او،
حقیر را در طوفان حوادث یارای ایستادگی نبود.

اکنون که با تاییدات خداوند متعال دوره ای دیگر از تحصیلم را پشت سر می گذارم و از آنجا که دست یابی به این مهم در سایه محبت، فداکاری و بزرگواری عزیزانی میسر گردیده است که هر یک نقش به سزاگی در رسیدن به این مرحله داشته اند، هرچند واژه ها از بیان شکوه محبت و لطف این بزرگواران عاجزند، لکن به رسم ادب لطفشان را ارج نهاده و برخود واجب می دانم که از خدمات بی شائبه خانواده به خصوص مادر عزیزم، آبی لحظه هایم، آنکه دوشادوش من در کلیه مراحل تحصیل، حقیر را با عشق و علاقه تشویق و حمایت می کند، از صمیم قلب تشکر کرده و بر دستانش بوسه زنم. سپس از آنجا که کلیه دستاوردهای این پایان نامه را مرهون راهنمایی های ارزنده استاد فرزانه و بزرگوار آقای دکتر حسین عشقی که روحیه پژوهش را در این حقیر زنده کرد می باشم؛ لازم می دانم از ایشان به خاطر رهنمودهای گهریار و صبر و حوصله فراوان در پاسخ به سئوالات و چشم پوشی از خطاهای درک شرایط حقیر در طول این تحقیق، نهایت قدردانی و تشکر را به عمل آورده و به خاطر نواقصی که در طول کار داشتم از صمیم قلب عذرخواهی نمایم. همچنین از استاد فرزانه آقای دکتر فرشید رئیسی که با نظرات کارگشا و حکیمانه خویش و در اختیار قرار دادن منابع مورد نیاز در پیشبرد و تکمیل این پایان نامه نقش به سزاگی داشتند، صمیمانه تشکر و سپاسگذاری می نمایم. بدون شک به انجام رساندن این پایان نامه در سایه مساعدت و آموزش های حکیمانه این بزرگواران میسر گردیده است.

از هیات محترم داوران به خاطر قبول زحمت نقد و بررسی پایان نامه، کمال تشکر را دارم؛ مایه افتخار است که این اثر در معرض داوری عالمانه آن بزرگواران قرار گرفته است. در انتها زحمات کلیه اساتید دانشکده فیزیک در مراحل مختلف تحصیلم را پاس داشته و مراتب تشکر قلبی خویش را از آموزش های حکیمانه شان تقدیم آن بزرگواران می نمایم. امید که با استعانت از خداوند و ادامه دادن این راه بتوانم قدردانشان بوده و لبخند رضایت را بر لبانشان بنشانم.

چکیده

در این پروژه پس از معرفی و بررسی سازوکارهای دخیل در تراپری حامل‌ها در اتصالات فلز / Si غیر متخلخل در شرایط تاریکی و در بایاس مستقیم و وارون، به شناخت سازوکارهای یاد شده در دیودهای شاتکی فلز / Si متخلخل در همان شرایط پرداختیم. داده‌های تجربی نشان می‌دهد که در اتصالات شاتکی فلز / Si در شرایط بایاس وارون در نمونه نوع n غیر متخلخل عموماً رفتار مشخصه جریان- ولتاژ اشباعی است. لکن در نمونه‌های نوع p و n متخلخل این رفتار همواره غیر اشباعی است. گزارش‌های منتشر شده این رفتار غیر اشباعی را به فرایند گسیل گرما- یونی با ضرایب ایده‌آلی بزرگتر از 100 انسیت داده‌اند. این ضرایب ایده‌آلی بزرگ به چگالی حالت‌های سطحی بالا در فصل مشترک پیوندگاه فلز / Si متخلخل نسبت داده می‌شود. مقادیر ارتفاع سد شاتکی که از داده‌های جریان- ولتاژ در شرایط بایاس مستقیم به دست می‌آید حاکی از آن است که در اتصالات فلز / Si متخلخل نوع n در حدود $0.5 eV$ و برای نوع p ، با توجه به جنس فلز اتصال بین $0.2-0.8$ الکترون ولت می‌باشد. از آنجا که برای بکارگیری دیودهای شاتکی در آشکارسازی تابش مادون قرمز، کوچکی ارتفاع سد شاتکی پارامتر مهمی است و با توجه به مقدار این ارتفاع در اتصالات سیلیساید $(PtSi)$ با سیلیکون متخلخل نوع p ، که در حدود $0.2 eV$ می‌باشد، استفاده از این فلز در آشکارسازهای شاتکی مناسب‌تر است.

با مقایسه مشخصه‌های جریان- ولتاژ تحت تابش آشکارساز $Si/PtSi$ غیر متخلخل و متخلخل نوع p در شرایط بایاس وارون، مشخص می‌شود که مقیاس محور جریان از $4 \mu A$ به mA افزایش می‌یابد. همچنین از مقایسه منحنی پاسخ در قطعه غیر متخلخل و متخلخل ملاحظه می‌شود که پاسخ نمونه متخلخل در ناحیه طول موجی $1/5$ الی 4 میکرومتر در حدود یک مرتبه بزرگی تغییر پیدا می‌کند. جالب توجه آنکه در طول موج‌های پایین تر از $1/5 \mu m$ پاسخ به شدت افزایش یافته به طوری که در طول موج $\mu m/87$ به حدود 1000 برابر می‌رسد. علاوه بر این در طول موج‌های بالاتر از طول موج قطع در نمونه‌های غیر متخلخل، منحنی پاسخ در نمونه متخلخل گسترش می‌یابد. به نظر ما ویژگی نخست می‌تواند ناشی از ناهمواری‌های سطح و همچنین افزایش جذب سیلیساید در اثر متخلخل سازی سیلیکون و دومین اثر حاصل فرایند تونل زنی حفره‌ها از داخل سد شاتکی باشد.

فهرست مطالب

عنوان	صفحة
تشکر و قدردانی	آ
چکیده	ب
فهرست مطالب	ج
فهرست شکل ها	و
فهرست جدول ها	ی
پیش گفتار	۱

گفتار یکم - مروری بر مقالات

۱-۱- تاریخچه سیلیکون متخلخل	۳
۱-۲- سیلیکون متخلخل چیست؟	۴
۱-۲-۱- تقسیم بندی سیلیکون متخلخل به لحاظ ابعاد	۴
۱-۲-۲-۱- تقسیم بندی سیلیکون متخلخل به لحاظ شکل	۵
۱-۳- روش های متداول برای ساخت سیلیکون متخلخل	۶
۱-۳-۱- پارامترهای مؤثر در کیفیت سیلیکون متخلخل	۹
۱-۴- برخی ویژگیهای الکتریکی سیلیکون متخلخل	۱۰
۱-۵- چرا سیلیکون متخلخل؟	۱۰
۱-۶- سیلیکون متخلخل و کاربردهای آن	۱۲
مراجع	۱۳

گفتار دوم - دیودهای شانکی فلز - نیمرسانا

مقدمه	۱۵
-------	----

۱۵ ۱-۲- اتصال های شاتکی
۲۰ ۲-۲- سازوکارهای انتقال جریان در دیودهای شاتکی فلز- نیمرسانا
۲۰ ۲-۲-۱- گسیل گرما- یونی الکترون ها از بالای سد پتانسیل از سمت نیمرسانا به سمت فلز
۲۲ ۲-۲-۲- تونل زنی کوانتمی از داخل سد
۲۴ ۲-۲-۳- بازترکیب درون تهی لایه
۲۵ ۲-۳-۲- عوامل انحراف مشخصه وارون از وضعیت ایده آل
۲۵ ۲-۳-۳-۱- وابستگی ارتفاع سد شاتکی به میدان الکتریکی
۲۶ ۲-۳-۳-۲- اثر تونل زنی
۲۶ ۴-۲- سازوکارهای شکست پیوندگاه
۲۷ ۴-۳-۱- شکست زنری
۲۷ ۴-۳-۲- شکست بهمنی
۲۹ ۵-۲- اثر انحنای پیوندگاه روی ولتاژ شکست
۳۰ ۶-۲- اتصال های فلز- سیلیکون
۳۰ ۷-۲- مختصری از ویژگی های سیلیکون
۳۰ ۷-۲-۱- ساختار بلوری
۳۱ ۷-۲-۲- وابستگی مقاومت ویژه زیر لایه به تراکم ناخالصی
۳۲ مراجع

گفتار سوم- آشکارسازهای نوری شاتکی

۳۴ مقدمه
۳۵ ۱-۳- آشکارسازهای شاتکی فلز/ نیمرسانا
۳۶ ۱-۱-۳- نحوه آشکارسازی در آشکارساز شاتکی $PtSi/Si$
۳۷ ۱-۲-۱-۳- طول موج قطع در آشکارساز شاتکی $PtSi/Si$
۳۸ ۱-۳-۳- پاسخ در آشکارساز شاتکی $PtSi/Si$
۴۰ مراجع

گفتار چهارم- بررسی مشخصه $I-V$ دیودهای شاتکی حاصل از اتصال فلز با Si معمولی و متخلخل

۴۳	مقدمه
۴۴	۱-۴- بررسی مشخصه $I-V$ دیودهای سد شاتکی فلز/ سیلیکون نوع n
۴۵	۱-۱-۴- مشخصه $I-V$ دیودهای شاتکی در شرایط بایاس مستقیم
۴۹	۲-۱-۴- مشخصه $I-V$ دیودهای شاتکی در شرایط بایاس وارون
۵۳	۲-۴- بررسی مشخصه $I-V$ دیودهای سد شاتکی فلز/ سیلیکون نوع p
۵۴	۱-۲-۴- مشخصه $I-V$ دیودهای شاتکی در شرایط بایاس مستقیم
۵۸	۲-۲-۴- مشخصه $I-V$ دیودهای شاتکی در شرایط بایاس وارون
۶۳	۳-۴- نتیجه گیری
۶۴	مراجع

گفتار پنجم- بررسی تاثیر متخلخل سازی بر عملکرد آشکارساز $PtSi/Si$

۶۷	مقدمه
۶۷	۱-۵- مشخصه آشکارساز $I-V$ $PtSi/p-Si$ تحت تابش
۶۸	۲-۵- بررسی مشخصه پاسخ در آشکارساز شاتکی $PtSi/p-Si$
۷۰	۱-۲-۵- بررسی کیفی عملکرد و علل افزایش پاسخ آشکارساز $Si/PtSi$ متخلخل نوع p
۷۳	۳-۵- نتیجه گیری
۷۴	مراجع

فهرست شکل ها

صفحه	شکل
۴	شکل ۱-۱- برشی از یک لایه سیلیکون متخلخل
۵	شکل ۱-۲- طرح ساده ای از سطح سیلیکون متخلخل
۶	شکل ۱-۳- اشکال گوناگون حفره های خورده شده از سمت چپ: استوانه ای، بطری، قیفی، سطح مقطع مربعی و مثلثی
۷	شکل ۱-۴- انواع محفظه های مورد استفاده در روش خوردگی الکتروشیمیایی: (الف) محفظه ساده، (ب) محفظه تکی، (ج) محفظه دوگانه
۸	شکل ۱-۵- طرح شماتیک محفظه مورد استفاده در روش (الف) خوردگی شیمیایی و (ب) تولید جریان داخلی توسط عناصر گالوانیک
۹	شکل ۱-۶- به ازای غلظت HF معین، افزایش چگالی جریان آنودایز سبب افزایش درصد تخلخل می شود
۱۱	شکل ۱-۷- پیک فوتولومینسانس سیلیکون متخلخل با افزایش درصد تخلخل به سمت انرژی های بالاتر جابجا می شود
۱۶	شکل ۲-۱- نوار انرژی فلز و نیمرسانای نوع n در شرایط تعادل گرمایی (الف): بدون اتصال و (ب) برقراری اتصال، تراز انرژی فرمی در دو ماده در یک سطح قرار گرفته است
۱۸	شکل ۲-۲- ارتفاع سد شاتکی فلز / Si نوع n بر حسب تابع کار فلز
۱۹	شکل ۲-۳- نمودار نوار انرژی فلز / نیمرسانای نوع n و نوع p در (الف): تعادل گرمایی، (ب): بایاس مستقیم و (ج): بایاس وارون
۲۰	شکل ۲-۴- سازوکارهای ترابری حامل ها در دیودهای شاتکی
۲۱	شکل ۲-۵- گسیل گرما- یونی الکترون ها از بالای سد پتانسیل در شرایط (الف): تعادل گرمایی، (ب): بایاس مستقیم، (ج): بایاس وارون

شکل ۶-۲- طرح شماتیک سازوکار تونل زنی از طریق مرکز بازترکیب در تهی لایه در اتصال فلز/ نیمرسانای نوع n در بایاس مستقیم ۲۲
شکل ۷-۲- اثر کاهش ارتفاع سد در بایاس خارجی. کاهش ارتفاع سد در بایاس مستقیم و وارون به ترتیب $\Delta\phi_F$ و $\Delta\phi_R$ است ۲۶
شکل ۸-۲- اثر زنر در بایاس وارون. الکترون از طرف p به طرف n تونل زده است ۲۷
شکل ۹-۲- طرح ساده ای نشان دهنده یونش برخوردي حامل ها ۲۸
شکل ۱۰-۲- میزان یونش اندازه گیری شده برحسب میدان الکتریکی برای Si ۲۸
شکل ۱۱-۲- لبه تیز در محل اتصال فلز- نیمرسانا ۲۹
شکل ۱۲-۲- ولتاژ شکست برحسب تراکم ناخالصی برای پیوندگاه پله ای یکطرفه با شکل هندسی استوانه ای و کروی که در آن r شعاع انحنای پیوندگاه است ۲۹
شکل ۱۳-۲- (الف) ساختار الماسی از دو شبکه fcc در هم فرورفته تشکیل شده است. (ب) آرایش چهاروجهی اتم ها در ساختار الماسی ۳۱
شکل ۱۴-۲- مقاومت ویژه برحسب تراکم ناخالصی در Si ۳۱
شکل ۱۵-۳- نوار انرژی آشکارساز $PtSi/p-Si$ ۳۵
شکل ۱۶-۳- (الف): نحوه آشکارسازی در آشکارساز $PtSi/p-Si$ (ب): گسیل حفره های داغی که می توانند از سد شاتکی عبور کنند ۳۶
شکل ۱۷-۳- طرح ساده ای از کسری از حامل ها در فضای اندازه حرکت که توانایی عبور از سد را دارد ۳۷
شکل ۱۸-۳- طرح ساده شده کواک نوری ۳۹
شکل ۱۹-۴- نمودار تغییرات جریان برحسب تابعی از ولتاژ برای دیودهای شاتکی شماره ۱ و ۲ در جدول ۱-۴ ۴۵
شکل ۲۰-۴- برگرفته از داده های شکل ۱-۴ به منظور تعیین ارتفاع سد شاتکی برای دیودهای شماره ۱(مثلث) و شماره ۲(مربع) در جدول ۱-۴ ۴۶
شکل ۲۱-۴- مشخصه $V-I$ - دیود شاتکی که از بازپخت آلیاژ $Al(Cu)$ با $PtSi$ (نمونه شماره ۱ در جدول ۱-۴) ساخته شده است. همانطور که پیداست شبی منحنی ها مستقل از دما است ۴۷

- شکل ۴-۴- مشخصه دیود شاتکی با Si متخلخل شماره ۱ در دمای اتاق. منحنی های خط چین نمایانگر انطباق نظریه گسیل گرما- یونی می باشد ۴۸
- شکل ۴-۵- مشخصه وارون دیود شاتکی ۲ و پیش بینی ترکیب سازوکار گسیل گرما- یونی و بازترکیب (خط چین) ۴۹
- شکل ۴-۶- مشخصه $I-V$ دیود شاتکی شماره ۱ جدول ۱-۴ که لایه فلزی آن با آلیاژ $Al(Cu)$ آلایده شده است. در ولتاژهای بزرگتر از $2/5V$ منحنی رفتار غیر اشباعی دارد ۵۰
- شکل ۴-۷- چگونگی به دست آوردن ثابت λ از روی منحنی های $\ln(I_r/V_r)$ بر حسب تابعی از $(V_D + V_r)^{-1/2}$ ۵۱
- شکل ۴-۸- تغییرات λ بر حسب تابعی از دما: مربع ها و خط چین به ترتیب نمایانگر نتایج محاسبات ما و مقادیر گزارش شده [۲] می باشد ۵۱
- شکل ۴-۹- مشخصه بایاس وارون دیود شاتکی (الف): شماره ۲ و (ب): شماره ۳ در دمای اتاق. منحنی خط چین نمایانگر انطباق در معادله (۹-۲) می باشد ۵۲
- شکل ۴-۱۰- مشخصه بایاس مستقیم دیود شاتکی (الف): نمونه شماره ۱ در جدول (۶-۴) در گستره دمایی ۹۰-۱۲۰ کلوین و (ب): نمونه های ۲، ۳، ۴ در دمای اتاق (در همین جدول). منحنی خط چین نمایانگر انطباق نظریه گسیل گرما- یونی می باشد ۵۵
- شکل ۴-۱۱- مشخصه بایاس مستقیم دیودهای شاتکی متخلخل (الف): شماره ۲ و (ب): شماره ۴ در دمای اتاق و (ج): شماره ۳. منحنی های خط چین نمایانگر انطباق نظریه گسیل گرما- یونی است .. ۵۷
- شکل ۴-۱۲- مشخصه بایاس وارون نمونه (الف): شماره ۱ در گستره دمایی ۹۰-۱۲۰ کلوین و (ب): شماره ۵ در دمای اتاق ۵۹
- شکل ۴-۱۳- چگونگی به دست آوردن ثابت λ از روی منحنی های $\ln(I_r/V_r)$ بر حسب تابعی از $(V_D + V_r)^{-1/2}$. (الف): دیود شماره ۱ و (ب): دیود شماره ۵ ۶۰
- شکل ۴-۱۴- مشخصه وارون دیودهای شاتکی متخلخل ۱ و ۳. منحنی های خط چین نشان دهنده سازوکار TE است ۶۱
- شکل ۴-۱۵- مشخصه $I-V$ بایاس وارون آشکارساز $PtSi/p-Si$ در شرایط تاریکی و تحت تابش در دمای ۷۷ کلوین (الف): متخلخل و (ب) غیر متخلخل ۶۸

شکل ۵-۲- مشخصه پاسخ بر حسب طول موج در دمای ۷۷ کلوین آشکارساز $Si / PtSi$ نوع p

(الف): متخلخل و (ب): غیر متخلخل که در معادله فاولر به خوبی صدق کرده است..... ۶۹

شکل ۵-۳- برش عرضی آشکار سازی که در آن از Si (الف) غیر متخلخل و (ب) متخلخل استفاده

شده است. توجه کنید که تعداد فوتون های تابشی برای هر دو قطعه یکسان است ۷۰

شکل ۵-۴- (الف) متخلخل کردن Si احتمال تزریق حفره های داغ را بیشتر می کند، (ب) طرح

ساده ای نمایانگر کسری از حامل ها در فضای اندازه حرکت که توانایی عبور از سد را دارند ۷۲

شکل ۵-۵- حامل های داغ در فضای اندازه حرکت در تمام جهات قادرند از سد شاتکی عبور کنند. ۷۲

فهرست جدول ها

صفحه	جدول
	جدول
۵	جدول ۱-۱ - تقسیم بندی سیلیکون متخلخل به لحاظ ابعادی
۱۶	جدول ۱-۲ - تابع کاربرخی از فلزات
۱۷	جدول ۲-۲ - ارتفاع چند سد شاتکی بر حسب الکترون ولت
۴۴	جدول ۴-۱ - برخی ویژگی های دیودهای فلز / Si نوع n
۴۴	جدول ۴-۲ - برخی ویژگی های دیودهای فلز / Si متخلخل نوع n. مقادیر ذکر شده در داخل پرانتز در ستون درصد تخلخل پیش بینی ما مبتنی بر مطالب بخش ۱-۳-۱ است و مؤلف گزارشی در این مورد نداشته است
۴۶	جدول ۴-۳ - مقادیر ضریب ایده آلی و ارتفاع سد محاسبه شده و مقادیر گزارش شده برای نمونه های غیر متخلخل جدول ۱-۴
۴۷	جدول ۴-۴ - مقادیر محاسبه شده و گزارش شده (A) و تعداد مراکز تونل زنی در تهی لایه (R).
۴۸	جدول ۴-۵ - مقادیر ضریب ایده آلی و ارتفاع سد در دیود شاتکی با Si متخلخل
۵۳	جدول ۴-۶ - برخی ویژگی های دیودهای فلز / Si نوع p
۵۴	جدول ۴-۷ - برخی ویژگی های دیودهای فلز / Si متخلخل نوع p. مقادیر ذکر شده در داخل پرانتز در ستون درصد تخلخل پیش بینی ما مبتنی بر مطالب بخش ۱-۳-۱ است و مؤلف گزارشی در این مورد نداشته است
۵۶	جدول ۴-۸ - مقادیر ضریب ایده آلی و ارتفاع سد محاسبه شده و مقادیر گزارش شده برای نمونه های غیر متخلخل جدول ۶-۴
۵۸	جدول ۴-۹ - مقادیر ضریب ایده آلی و ارتفاع سد محاسبه شده و مقادیر گزارش شده برای نمونه های متخلخل جدول ۷-۴
۶۱	جدول ۴-۱۰ - مقادیر ثابت λ محاسبه شده در دماهای مختلف برای دیود شماره ۱. همانطور که انتظار داریم با افزایش دما λ کوچکتر می شود

جدول ۱۱-۴- مقادیر ضریب ایده آلی و ارتفاع سد محاسبه شده و مقادیر گزارش شده نمونه های

متخلخل جدول ۷-۴ ۶۲

پیش گفتار

تا مدت‌ها پس از ساخت سیلیکون متخلخل توسط اوهرلⁱ در سال ۱۹۵۶، تا سال ۱۹۹۰ که کنهامⁱⁱ یقینی از این ماده در دمای اتاق گزارش کرد این ماده به دست فراموشی سپرده شده بود. همین ویژگی و نیز ارزان بودن سیلیکون (نسبت به سایر نیمرساناهای) سبب کاربرد وسیع آن در صنایع الکترونیک گردید. با بررسی هایی که روی این ماده انجام شد، مشخص گردید که ایجاد تخلخل در سطح سیلیکون به آن خصوصیات برجسته‌ای می‌دهد که تاثیر مستقیمی در کارایی برخی قطعات نظیر آشکارسازهای نوری در ناحیه مادون قرمز دارد. به دلیل پیچیده بودن ساختار سیلیکون متخلخل هنوز توصیف کامل و دقیقی از خواص الکتریکی یا اپتیکی آن در دست نیست. آنچه به ناشناخته ماندن این موضوع دامن می‌زند، قابلیت ساخت این ماده در ابعاد و همچنین ساختارهای متفاوت است.

از آنجا که در چند سال اخیر کاربرد سیلیکون متخلخل در آشکارسازهای شاتکی مورد توجه بسیاری قرار گرفته است، لذا در این پایان نامه پس از شناخت سازوکارهای دخیل در مشخصه جریان- ولتاژ دیودهای شاتکی فلز/ سیلیکون متخلخل در بیان مستقیم و وارون در حالت تاریکی و تحت تابش، دلایلی برای افزایش پاسخ در آشکارسازهای شاتکی فلز/ سیلیکون متخلخل ارائه نموده ایم.

در گفتار اول به آشنایی با سیلیکون متخلخل و معرفی برخی ویژگی‌های ساختاری و الکتریکی آن پرداخته شده است. اتصالات شاتکی و سازوکارهای مؤثر در رسانندگی آنها موضوع بحث گفتار دوم است. در گفتار سوم نحوه عملکرد آشکارسازهای شاتکی را به اختصار مورد بررسی قرار داده ایم. در گفتار چهارم به تحلیل داده‌های تجربی گزارش شده در مقالات معتبر درخصوص سازوکارهای مؤثر در رسانندگی دیودهای شاتکی در حالت تاریکی پرداخته و در گفتار پنجم، مشخصه تحت تابش آشکارساز $Si/PtSi$ متخلخل نوع p را بررسی و راهکارهایی برای علل افزایش پاسخ آشکارساز مذکور نسبت به قطعات با سیلیکون غیر متخلخل ارائه نموده ایم.

ⁱ Uhlig
ⁱⁱ Canham
ⁱⁱⁱ Photoluminescence

گفتار اول

مروری بر مقالات

- تاریخچه سیلیکون متخلخل
- سیلیکون متخلخل چیست؟
- روش های متداول برای ساخت سیلیکون متخلخل
- برخی ویژگیهای الکتریکی سیلیکون متخلخل
- چرا سیلیکون متخلخل؟
- سیلیکون متخلخل و کاربردهای آن

۱-۱- تاریخچه سیلیکون متخلخل

از سال ۱۹۵۶ که اوهلر بطور تصادفی سیلیکون متخلخل را مشاهده کرد بیش از پنجاه سال نمی گذرد^[۱]. از آن زمان تلاش برای شناخت جنبه های مختلف این ماده آغاز گردید. بعدها ترنر موفق به ساخت نخستین لایه سیلیکون متخلخل شد^[۲]. پیکرینگ^۱ در سال ۱۹۸۴ برای نخستین بار موفق به مشاهده فوتولومینسانس این ماده در دمای $4/2K$ شد^[۳]، ولی از آنجا که دمایی که در آن فوتولومینسانس دیده می شد بسیار پایین بود چندان مورد توجه محققان قرار نگرفت. در سال ۱۹۸۷ لهمن و گوسل^۲ گاف نواری سیلیکون متخلخل را به روش اپتیکی تعیین نمودند؛ بر اساس گزارش آنها گاف نواری سیلیکون متخلخل بیش از $eV 1/7$ بود^[۴].

کنهام از جمله محققانی است که در زمینه سیلیکون متخلخل تحقیقات فراوانی انجام داده و به نتایج متعدد و با ارزشی رسیده است. از جمله یافته های بزرگ وی که سبب وقوع انقلابی در سال ۱۹۹۰ در عرصه تکنولوژی سیلیکون متخلخل شد، گزارش فوتولومینسانس مرئی و قوی این ماده در دمای اتاق بود^[۵]. چند سال بعد کنهام موفق شد ارتباط بین بیشینه شدت فوتولومینسانس سیلیکون متخلخل و ابعاد ستون های سیلیکونی را پیدا کند. وی گزارش کرد که با باریک تر شدن قطر ستون های سیلیکونی بر جای مانده، بیشینه شدت فوتولومینسانس به سمت انرژی های بالاتر جابجا می شود^[۶].

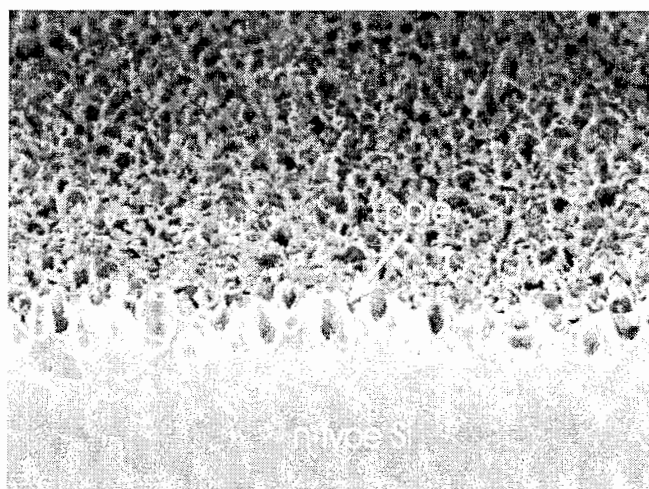
با وجود پیشرفت های بسیاری که در زمینه ساخت و کاربردهای سیلیکون متخلخل صورت گرفته است، هنوز جنبه های ناشناخته بسیاری از این ماده وجود دارد که به ساختار نامنظم آن مربوط می شود. از جمله مهم ترین آنها مستقیم یا غیر مستقیم بودن گاف نواری سیلیکون متخلخل است.

Pickeringⁱ
Lehmann, Goseleⁱⁱ

برخلاف انتظار گزارش هایی مبنی بر مستقیم بودن گاف نواری سیلیکون متخلخل وجود دارد^[۶] ولی برخی از محققین هم سیلیکون متخلخل را ماده ای با گاف نواری غیر مستقیم دانسته اند^[۶,۷].

۱-۲- سیلیکون متخلخل چیست؟

چنانچه سطح سیلیکون با موادی مانند HF و $NaOH$ و KOH در تماس باشد، خوردگی در سطح سیلیکون بوجود می آید. سیلیکونی که با روش های خوردگی به ساختاری اسفنجی شامل ستون های سیلیکونی و حفره های خورده شده تبدیل شده است، سیلیکون متخلخل نامیده می شود^[۶]، (شکل ۱-۱). سیلیکون متخلخل با توجه به ابعاد و شکل حفره های خورده شده به اقسام گوناگونی تقسیم شده است که در ادامه این بخش به معرفی آنها خواهیم پرداخت.

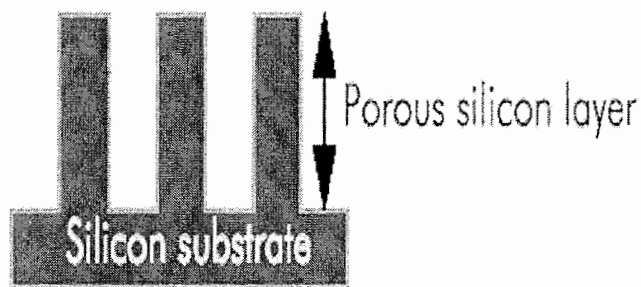


شکل ۱-۱- برشی از یک لایه سیلیکون متخلخل.

۱-۲-۱- تقسیم بندی سیلیکون متخلخل به لحاظ ابعاد

آنچه باعث تمایز سطح ناهموار و سطح متخلخل می شود، وجود حفره هایی است که ارتفاع آنها از ابعادشان بیشتر باشد، (شکل ۲-۱). سیلیکون متخلخل با توجه به ابعاد حفره های خورده شده به سه دسته تقسیم می شود که در جدول ۱-۱ آورده شده است. البته تعیین ابعاد خلل و فرج زمانی معنای دقیق دارد که شکل حفره ها کاملا مشخص و تعریف شده باشد؛ این شرایط در مورد تخلخل ماکرومتر و گاهی اوقات مزومتر، تا حدی برقرار بوده ولی در مورد تخلخل میکرومتر، تعیین دقیق شکل خلل و

فرج ها به سادگی امکان پذیر نیست. باید خاطر نشان کرد که در بررسی سیلیکون متخلخل میکرومتری به دلیل ابعاد بسیار کوچک ستون های سیلیکونی باید اثرات کوانتمی رانیز در نظر گرفت[۶]. این موضوع در بزرگی گاف نواری سیلیکون متخلخل مؤثر است که در بخش ۱-۴ به آن پرداخته ایم.



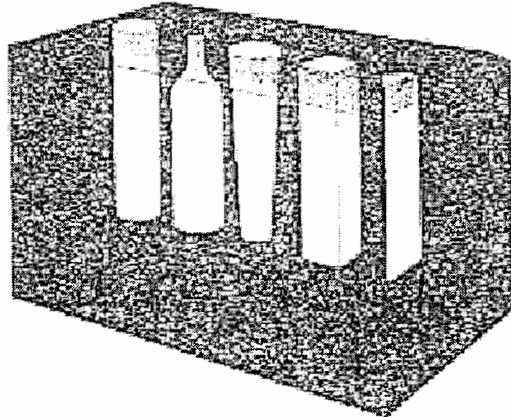
شکل ۱-۲- طرح ساده ای از سطح سیلیکون متخلخل.

جدول ۱-۱- تقسیم بندی سیلیکون متخلخل به لحاظ ابعادی[۶].

پهنهای حفره (nm)	نوع حفره
≤ 2	میکرومتر
۲-۵۰	مزومتر
$50 \leq$	ماکرومتر

۱-۲-۲- تقسیم بندی سیلیکون متخلخل به لحاظ شکل

شکل ۱-۳ رایج ترین اشکال حفره ها را نشان می دهد. حفره ها می توانند به شکل استوانه ساده یا شاخه دار باشند. علاوه بر این خلل و فرج ها ممکن است دارای سطح مقطع مربعی یا مثلثی بوده و یا به شکل قیف و یا بطری باشند[۶].



شکل ۱-۳- اشکال گوناگون حفره های خورده شده از سمت چپ:
استوانه ای، بطری، قیفی، سطح مقطع مربعی و مثلثی [۶].

در عمل مشاهده شده است که شکل حفره ها به سمتگیری بلوری ویفر سیلیکون بستگی دارد.
بعنوان مثال متخلخل سازی به روش خوردگی الکتروشیمیایی (بخش ۱-۳) ویفرهایی با سمتگیری (۱۰۰) به ایجاد حفره هایی با سطح مقطع مربعی و با سمتگیری (۱۱۱) به حفره هایی با سطح مقطع مثلثی می انجامد [۶].

۱-۳- روش های متداول برای ساخت سیلیکون متخلخل

از آنجا که در نمونه های مورد بررسی در این پژوهه به روش های ساخت سیلیکون متخلخل نیز اشاره می شود، لذا برای آشنایی به معرفی آنها می پردازیم. روش های معمول برای تهییه سیلیکون متخلخل عبارتند از:

الف- خوردگی الکتروشیمیاییⁱ؛

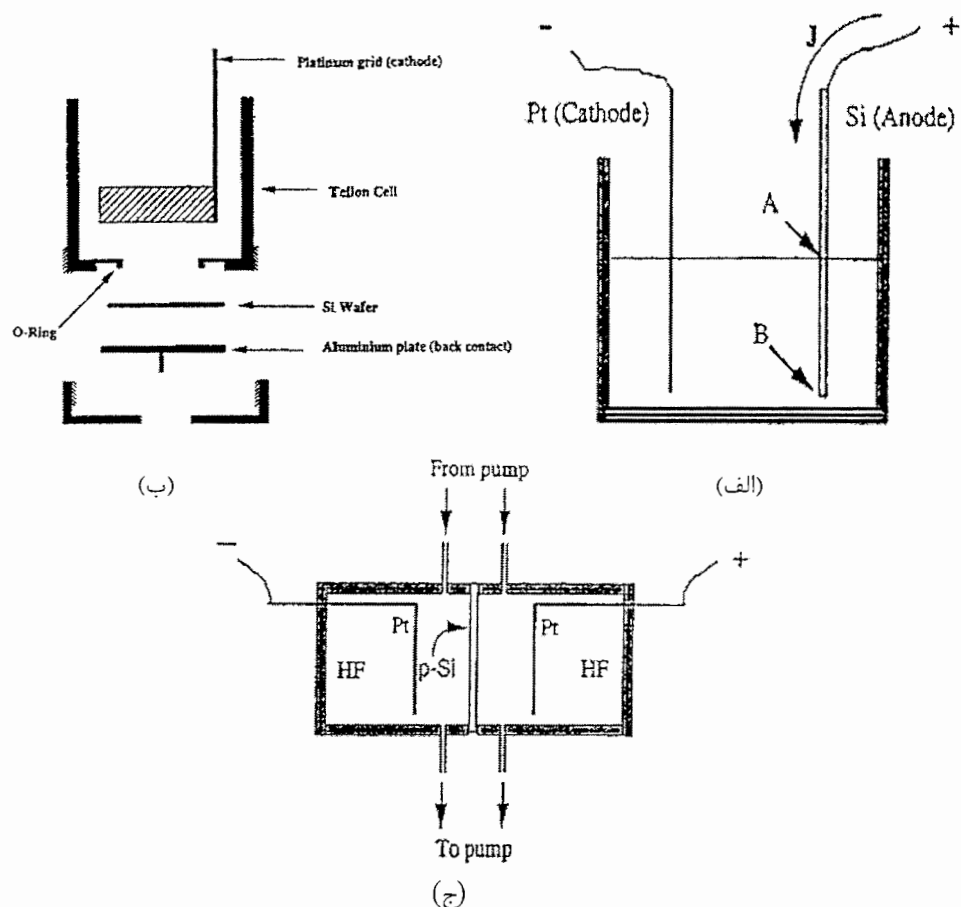
ب- خوردگی شیمیاییⁱⁱ؛

ج- تولید جریان داخلی توسط عناصر گالوانیک؛

(الف) روش خوردگی الکتروشیمیایی براساس تجزیه الکتروشیمیایی سیلیکون در محلول هایی است که جزو اصلی آنها HF می باشد. در این روش از ویفر سیلیکون به عنوان آند و پلاتین، یا هر فلزی که در مقابل HF مقاوم بوده و هادی جریان الکتریسیته نیز باشد، عنوان کاتد استفاده

Anodizingⁱ
Etchingⁱⁱ

می شود. از جمله مزایای این روش، تهیه لایه های سیلیکون متخلخل با ضخامت بیش از $100 \mu\text{m}$ است. در این روش از سه نوع محفظه استفاده می شود: محفظه ساده، شکل ۱-۴-الف، محفظه تکی، شکل ۱-۴-ب، که در آن فلزی از سمت پشت ویفر به آن محکم شده است و محفظه دوگانه، شکل ۱-۴-ج، که محلول الکتروولیت از سمت پشت با ویفر تماس دارد [۸۶].



شکل ۱-۴- انواع محفظه های مورد استفاده در روش خوردگی الکتروشیمیایی:

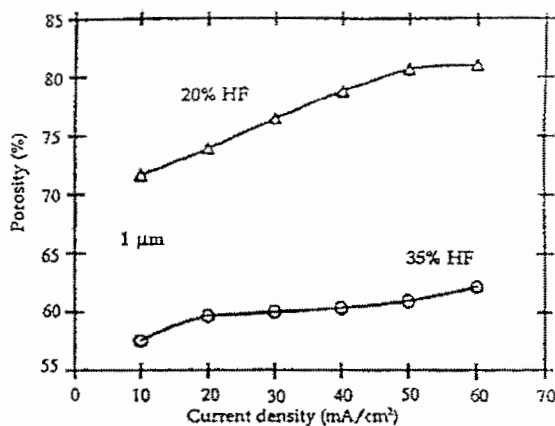
(الف) محفظه ساده، (ب) محفظه تکی، (ج) محفظه دوگانه [۸۶].

(ب) روش خوردگی شیمیایی براساس اکسید شدن سیلیکون در HNO_3 ، و برداشته شدن اکسید با HF است. شکل ۱-۵-الف محفظه مورد استفاده در این روش را نشان می دهد. این روش نیاز به عبور جریان الکتریسیته نیست و به همین خاطر سرعت خوردگی در این روش پایین است. سادگی و

در ادامه به بررسی پارامترهای مؤثر در هر یک از روش‌های فوق پرداخته ایم.

۱-۳-۱- پارامترهای مؤثر در کیفیت رشد سیلیکون متخلخل در روش‌های مختلف

تجربه نشان داده است که تغییر چگالی جریان و زمان آنودایز در روش خوردگی الکتروشیمیایی روی درصد تخلخل اثر می‌گذارند. مشخص شده است که در یک غلظت HF ثابت، افزایش چگالی جریان آنودایز سبب افزایش درصد تخلخل می‌شود، (شکل ۱-۶). بطور مشابه افزایش زمان آنودایز نیز ضخامت لایه متخلخل را بیشتر می‌کند؛ زیرا سطح زیرلایه زمان بیشتری در معرض اسید خورنده واقع می‌شود[۶].



شکل ۱-۶- به ازای غلظت HF معین، افزایش چگالی جریان آنودایز سبب افزایش درصد تخلخل می‌شود[۶].

آزمایش‌های مختلف این نکته را به اثبات رسانده است که غلظت H_2O_2 (آب اکسیژنه)، اتانول و نیز استفاده از فلزات مختلف در روش تولید جریان داخلی توسط عناصر گالوانیک از جمله پارامترهای مؤثر می‌باشند. هرقدر غلظت H_2O_2 بیشتر باشد، درصد تخلخل و ابعاد آن بیشتر خواهد شد. با افزایش غلظت اتانول، ابعاد خلل و فرج کاهش یافته و لایه سیلیکون متخلخل بوجود آمده یکنواختی بیشتری خواهد داشت. چنانچه از فلزات مختلفی به عنوان عناصر گالوانیک استفاده شود، بدلیل تفاوت در پتانسیل داخلی ایجاد شده، جریان داخلی نیز یکسان نبوده و درنتیجه درصد تخلخل متفاوت خواهد بود. از طرفی با افزایش ضخامت فلز، جریان داخلی و درصد تخلخل افزایش خواهد یافت[۸].

نوع و آلاиш زیرلایه و غلظت HF از جمله پارامترهایی هستند که در تمام روش‌های ساخت سیلیکون متخلخل مؤثرند. از آنجا که ایجاد خوردگی در سطح سیلیکون مستلزم تولید حفره می‌باشد، تهیه سیلیکون متخلخل از زیرلایه نوع p به مراتب ساده‌تر از زیرلایه نوع n است. به همین دلیل برای تسهیل در متخلخل نمودن سیلیکون نوع n معمولاً از تابش نیز استفاده می‌شود[۱۰]. افزایش میزان آلايش زیرلایه، باعث کاهش درصد تخلخل در زیرلایه نوع p و افزایش آن در زیرلایه نوع n می‌شود. افزایش غلظت اسید خورنده HF درصد تخلخل را کاهش می‌دهد[۶].

۴- برخی ویژگی‌های الکتریکی سیلیکون متخلخل

ویژگی‌های الکتریکی سیلیکون متخلخل از قبیل رسانندگی و گاف نواری به شدت تحت تاثیر ساختار نامنظم و درصد تخلخل آن می‌باشد. همین مساله باعث شده است که نتوان یک مقدار مشخص به گاف نواری آن نسبت داد[۶]. یکی از روش‌های تعیین گاف نواری اندازه گیری طیف فوتولومینسانس (PL) می‌باشد. برای گاف نواری سیلیکون متخلخل مقدادر مختلف در گستره eV $1/3-2/2$ گزارش شده است[۶].

مقاومت ویژه سیلیکون متخلخل نسبت به سیلیکون غیر متخلخل بزرگتر می‌باشد. این امر حاکی از کاهش یافتن حامل‌های آزاد در این ماده است. پهن شدن گاف نواری به دلیل اثر حبس کوانتمی^۱ موجب می‌شود که تراکم حامل‌ها در یک دمای معین کاهش یابد، از طرفی به دلیل ساختار نامنظم سیلیکون متخلخل و وجود حالت‌های پذیرنده سطحی، احتمال به دام افتادن حامل‌ها نیز وجود دارد. مجموع این عوامل باعث کم شدن تعداد حامل‌های آزاد در ناحیه پوسته متخلخل می‌شود[۱۱،۶].

تحرک الکترونی در سیلیکون متخلخل از مرتبه $cm^2/V.s$ 10^{-4} تا 10^{-5} می‌باشد که در مقایسه با مقدار آن در سیلیکون غیر متخلخل (که در Si نوع p و n به ترتیب $cm^2/V.s$ 1500 و 500 است.) [۱۲]، تقریباً 10^7 تا 10^8 برابر کوچکتر است[۱۲].

۵- چرا سیلیکون متخلخل؟

تاکنون به شناخت سیلیکون متخلخل و برخی از ویژگی‌های آن پرداختیم در ادامه می‌خواهیم بدانیم چرا استفاده از سیلیکون متخلخل مورد توجه محققان قرار گرفته است؟

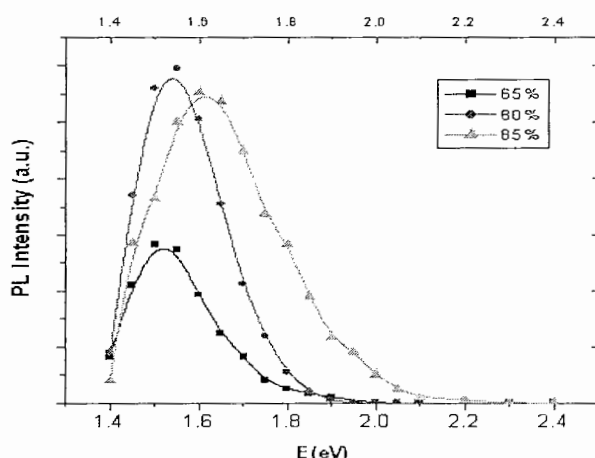
قبل اشاره کردیم که مشاهده های تجربی کنهام درباره فوتولومینسانس مرئی سیلیکون متخلخل آن را بعنوان ماده ای که می توان در صنعت اپتوالکترونیک از آن استفاده کرد مورد توجه قرار داد. ارزان بودن و سهولت متخلخل نمودن سیلیکون باعث رقابت آن با مواد اپتوالکترونیک می شد؛ پس از آن مشخص گردید که در اثر تابش نور فرابنفش به سیلیکون متخلخل، طیف گسیلی از آن در گستره طول موج های مرئی قرمز، سبز و آبی قرار می گیرد که با درصد تخلخل سیلیکون ارتباط مستقیم دارد؛ به گونه ای که با افزایش درصد تخلخل، قله فوتولومینسانس سیلیکون متخلخل به سمت انرژی های بالاتر جابجا می شود، (شکل ۱-۷). فوتولومینسانس سیلیکون متخلخل از نظر طول موج،

به سه ناحیه تقسیم می شود[۶]:

الف-آبی، با طول موج $400\text{-}500\text{ nm}$

ب-قرمز، با طول موج $560\text{-}800\text{ nm}$

ج-مادون قرمز، با طول موج $900\text{ nm}\text{-}2\text{ }\mu\text{m}$



شکل ۱-۷- پیک فوتولومینسانس سیلیکون متخلخل با افزایش درصد تخلخل

به سمت انرژی های بالاتر جابجا می شود[۱۴].

از دیگر ویژگی های بارز سیلیکون متخلخل، می توان به نسبت سطح به حجم بالا، چسبندگی سطحی بالا[۹،۱۰] و میدان های الکتریکی قوی در نوک ستون های سیلیکونی[۱۵] اشاره کرد. در ادامه

خواهیم دید که هریک از ویژگی های فوق به کاربرد سیلیکون متخلخل در زمینه های گوناگونی انجامیده است.

۱-۶- سیلیکون متخلخل و کاربردهای آن

امروزه قابلیت های استفاده از سیلیکون متخلخل در عرصه های گوناگون آشکار شده است. از جمله کاربردهای این ماده در عرصه اپتوالکترونیک می توان به استفاده در دیودهای نورگسیل (*LED*) [۱۶]، آشکارسازهای مادون قرمز [۱۷، ۱۸] و موجبرها [۲] اشاره کرد که بهره گیری از سیلیکون متخلخل به ترتیب سبب کنترل طول موج نور خروجی با تغییر درصد خلل و فرج، افزایش کارایی کوانتمی، اتلاف توان انتقال کمتر و کنترل ضریب شکست با تغییر درصد تخلخل می شود. در زمینه کاربرد در دیودهای شاتکی در فصل چهارم و آشکارسازهای مادون قرمز در فصل پنجم با تفصیل بیشتری خواهیم پرداخت.

چسبندگی سطحی و نسبت سطح به حجم بالای سیلیکون متخلخل موجب کاربرد وسیع آن در ساخت حسگرهای گازی شده است [۹]. حسگرهایی که با سیلیکون متخلخل ساخته می شوند، در مقایسه با سایر حسگرهای از زمان پاسخ کوتاه تری برخوردار بوده و در گستره دمایی وسیع تری قابل استفاده می باشند [۶، ۹]. از سیلیکون متخلخل در سلول های خورشیدی بعنوان لایه ضد بازتاب مناسب استفاده می شود [۱۹].

مراجع

- 1- A.J.Uhlir,1956: *Electronic shaping of Germanium & Silicon, the Bell system technical journal*, 35, 333-347.
- 2- D.S.Turner, 1958: *Electropolishing Si in hydrofluoric acid solutions, j. electrochem. Soc. 105(1)*, 402-408.
- 3- C.Pickering, M.I.J.Beale, D.J.Robbins, P.J.Pearson, R.Greef,1984, *j. phys. C(UK)17*,6536-52.
- ٤- رشید فریبور، ۱۳۸۳، متخلخل سازی سیلیکون و لایه نشانی پلاتین بر روی سیلیکون متخلخل به منظور ساخت آشکارساز شاتکی، پایان نامه کارشناسی الکترونیک، دانشگاه صنعتی خواجه نصیر الدین طوسی.
- 5- L.T.Canham,1990, *Applied physics letters(USA)57*, 1046-48.
- 6- L.T.Canham, D.Malvern,1997: *Properties of porous silicon, INSPEC(UK)*.
- 7- N.Sankara Subramanian, R.Vivek Sabaapathy, R.Sriram, B.Santhy,2005: *Investigation on nanoporous Silicon for gas sensor applications, International conference on smart materials structures & systems, proceeding of ISSS,Bangalore,India*.
- 8- A.Splinter,2001: *New porous silicon formation technology using internal current generation with galvanic elements, sensors & actuators A*,92.
- 9- G.Marsh,2002: *Porous silicon a useful imperfection, Materialstoday*.
- 10- G.Algun, M.C.Arikan,1999: *An investigation of electrical properties of porous silicon, Tr. J. of phys.23*,789-797.
- 11- Z.Gaburro, N.Daldesso, L.Pavesi, *Porous silicon*.
- 12- S.M.Sze,1985: *Physics of semiconductor devices,2th Ed,Wiley*.
- 13- P.Rao, A.Schiff, L.Tsybeskev, P.M.Favchet,1996: *Electron time of flight measurements in porous silicon,Advances in microcrystalline & nanocrystalline semiconductors*,613-618.
- 14- J.Dain,2004: *SEM & HRTEM study of porous silicon relationship between fabrication morphology & Optical properties, Applied surface science*,238.
- 15- F.Raissi, N.A.Sheeni,2003: *Highly sensitive near IR detectors using n-type porous Silicon, Sensors & actuators A* 104,117-120
- 16- A.Richer, P.Steiner, F.Kozlowski, W.Long,1991,*IEEE electron device*12,691.
- 17- F.Raissi,2003: *A possible explanation for high quantum efficiency of PtSi/Porous Silicon Schottky detectors, IEEE transactions on electron device*,50(4),1134.
- 18- F.Raissi, M.Mohtashami Far,2002: *Highly sensitive PtSi/Porous silicon Schottky detector, IEEE sensors journals*2(5),476-81.
- 19- S.Strehle, D.Starti, A.Krothus, K.Grigroras, C.Levy Clement,1997, *Thin solid films(Switzerland)*297,291-5.

گفتار دو

دیودهای شاتکی فلز- نیمرسانا

● مقدمه

● اتصال های شاتکی

● سازوکارهای انتقال جریان در دیودهای شاتکی فلز- نیمرسانا

● عوامل انحراف مشخصه وارون از وضعیت ایده آل

● سازوکارهای شکست پیوندگاه

● اثر انحنای پیوندگاه روی ولتاژ شکست

● اتصال های فلز- سیلیکون

● مختصری از ویژگی های سیلیکون

مقدمه

اتصال های فلز- نیمرسانا دسته ای از قطعات تک قطبی می باشند. در این قطعات فقط یک نوع حامل بطور غالب در روند رسانندگی شرکت دارد^[۱]. اولین قطعه فلز- نیمرسانا (۱۹۰۴) به شکل یکسوکننده اتصال نقطه ای بود، بدین معنی که یک سیم فلزی نوک تیز با فشار به سطح یک نیمرسانا اتصال داده شده بود^[۲]. پس از آن این قطعات کابرد های بسیاری پیدا کردند. چنانچه اتصال فلز- نیمرسانا غیر یکسوکننده باشند، یعنی بدون توجه به قطبیت ولتاژ اعمال شده مقاومت ناچیزی داشته باشد، آن را اتصال اهمی گویند. اگر اتصال فلز- نیمرسانا خاصیت یکسوکننگی داشته باشند، آن را اتصال های شاتکی می نامند. از اتصال های یکسوساز در مدارهایی که برای یکسوسازی به پاسخ سریع احتیاج دارند استفاده می شود^[۳].

از آنجا که در این پژوهه به بررسی ویژگی های الکتریکی و اپتیکی دیودهای شاتکی فلز / Si پرداخته ایم، لذا بحث خود را در این گفتار به شناخت هرچه بیشتر این اتصالات اختصاص داده ایم.

۱-۲- اتصال های شاتکی

پس از آنکه شاتکی و موت^۱ برای نخستین بار نحوه تشکیل سد پتانسیل بین فلز و نیمرسانا را توضیح داده و مدل هایی برای به دست آوردن ارتفاع سد و شکل آن ارائه کردند، اتصالات فلز- نیمرسانای یکسوساز، اتصالات شاتکی اطلاق شد^[۵,۶].

شکل ۱-۲ نوار انرژی یک نیمرسانای نوع n و فلز را نشان می دهد. $q\phi_s$ و $q\phi_m$ به ترتیب تابع کار نیمرسانا و فلز می باشد. تابع کار به صورت اختلاف بین تراز انرژی فرمی (E_r) و تراز انرژی خلاء (E_0) تعریف می شود. عبارت دیگر تابع کار، متوسط انرژی مورد نیاز برای جدا کردن الکترون از ماده است. χ ، الکترون خواهی نیمرسانا بوده و به صورت اختلاف انرژی تراز خلاء (E_0) و لبه نوار رسانش

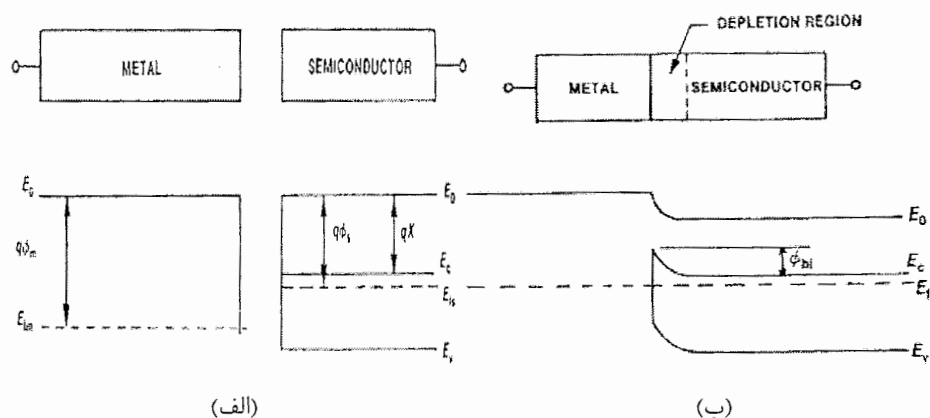
Schottky & Mottⁱ

تعريف می شود[۲]. الکترون خواهی برای هر ماده مقداری ثابت بوده و در مورد سیلیکون 4.01 eV است[۶]. جدول ۱-۲ تابع کار برخی از فلزات را نشان می دهد. تابع کار فلز معمولاً بین 2 eV تا 6 eV متغیر است[۲]. از آنجاکه مکان تراز فرمی در نیمرسانها به چگالی اتم های ناخالصی بستگی دارد، لذا تابع کار در نیمرسانها مقدار ثابتی نداشته و به تراکم ناخالصی بستگی دارد.

جدول ۱-۲ - تابع کار برخی از فلزات[۶].

Element	Ag	Al	Au	Ni	Pt
$\phi_m(V)$	۴/۲۶	۴/۲۱	۵/۱	۵/۱۵	۵/۶۵

هنگامی که فلز و نیمرسانا در حالت تعادل بوده و با یکدیگر اتصال ندارند، ترازهای انرژی آنها ثابت بوده و مکان تراز انرژی فرمی نیز متفاوت می باشد، شکل ۱-۲-الف. با برقراری اتصال در شرایط تعادل گرمایی تراز های فرمی در دو ماده در یک سطح قرار گرفته و از طرفی تراز خلا باید پیوسته باشد. از این دو التزام نوار انرژی منحصر به فردی برای اتصال فلز- نیمرسانا در حالت ایده آل به دست می آید، که مطابق شکل ۱-۲-ب می باشد.



شکل ۱-۲ - نوار انرژی فلز و نیمرسانای نوع n در شرایط تعادل گرمایی (الف): بدون اتصال و (ب) برقراری اتصال، تراز انرژی فرمی در دو ماده در یک سطح قرار گرفته است.

در این شرایط تعدادی از الکترون‌ها به طور خود به خودی از نیمرسانا به فلز منتفل شده و در سطح آن جمع می‌شوند. در عوض اتم‌های ناخالصی ای که الکترون‌های خود را از دست داده‌اند، بصورت مراکز بار فضایی مثبت در داخل نیمرسانا باقی می‌مانند که به تهی لایه موسوم است. جدا شدگی بارها باعث ایجاد میدان الکتریکی ای در تهی لایه می‌شود که مانع از حرکت بیشتر بارها از نیمرسانا به سمت فلز می‌شود. در این حالت ارتفاع سد $q\phi_{Bn}$ برابر اختلاف بین تابع کار فلز و الکترون خواهی نیمرسانا است:

$$q\phi_{Bn} = q(\phi_m - \chi) \quad (1-2)$$

برای اتصال فلز/نیمرسانای نوع p ایده‌آل، ارتفاع سد شاتکی را می‌توان با روش مشابهی تعیین نمود:

$$q\phi_{Bp} = E_g - q(\phi_m - \chi) \quad (2-2)$$

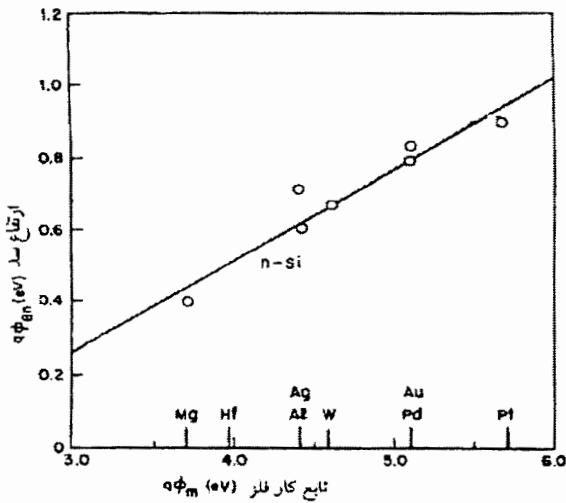
که در آن E_g اندازه گاف نواری نیمرسانا است. برای نیمرسانای معین و برای هر فلز، انتظار می‌رود مجموع ارتفاع سد روی زیرلایه‌های نوع n و نوع p با گاف نواری برابر باشد [۱]:

$$q(\phi_{Bn} + \phi_{Bp}) = E_g \quad (3-2)$$

جدول ۲-۲ مقادیر ارتفاع سد شاتکی برخی از اتصالات فلزی را با Si نوع n و p نشان می‌دهد. از معادله (۱-۲) پیداست که ارتفاع سد شاتکی با افزایش تابع کار فلز افزایش می‌یابد؛ اما از آنجا که در دیود شاتکی واقعی، وجود حالت‌های پذیرنده در سطح نیمرسانا تعداد زیادی تراز انرژی ایجاد می‌کند که در گاف انرژی قرار دارند و می‌توانند نظیر دهنده‌ها یا پذیرنده‌ها عمل کرده و بر ارتفاع سد تاثیر بگذارند، وابستگی ارتفاع سد پتانسیل به تابع کار فلز به شدت پیش‌بینی شده در رابطه (۱-۲) نمی‌باشد [۶]. شکل ۲-۲ ارتفاع چند سد شاتکی را بر حسب تابع کار فلز برای سیلیکون نوع n نشان می‌دهد.

جدول ۲-۲- ارتفاع چند سد شاتکی بر حسب الکترون ولت [۷].

<i>Schottky Metal</i>	<i>Al</i>	<i>Au</i>	<i>PtSi</i>
$n-Si$	۰/۷	۰/۷۹	۰/۸۵
$p-Si$	۰/۸	۰/۲۵	۰/۳



شکل ۲-۲- ارتفاع سد شاتکی فلز / Si نوع n بر حسب تابع کار فلز [۱].

حال به بررسی نمودار نوار انرژی اتصالات شاتکی در شرایط اعمال بایاس خارجی می پردازیم.

شکل ۲-۳ نمودار نوار انرژی اتصال فلز / نیمرسانای نوع n و p را در شرایط تعادل گرمایی و در بایاس مستقیم و وارون نشان می دهد. در شرایط تعادل گرمایی و در مورد نیمرسانای نوع n ، شکل ۲-۳-الف، ϕ_{bi} نشان دهنده ارتفاع سد شاتکی برای حامل ها از نیمرسانا به فلز می باشد که نسبت ارتفاع سد از فلز به نیمرسانا، ϕ_{Bn} ، به اندازه V_n (اختلاف تراز انرژی فرمی تا لبه نوار رسانش) کمتر است. یعنی:

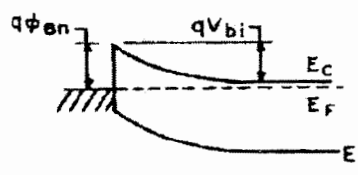
$$\phi_{bi} = \phi_{Bn} - V_n \quad (4-2)$$

به طوری که:

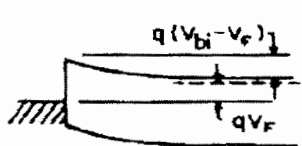
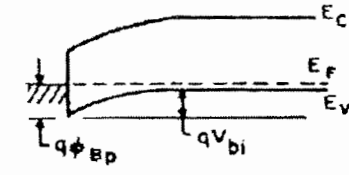
$$V_n = \frac{kT}{q} \ln \left(\frac{N_C}{N_D} \right) \quad (5-2)$$

که در آن N_C و N_D به ترتیب چگالی مؤثر حالت ها در نوار رسانش و چگالی اتم های ناخالصی در نیمرسانا است. با اعمال بایاس مستقیم به دیود، شکل ۲-۳-ب، ارتفاع سد پتانسیل نسبت به تعادل گرمایی کاهش و در بایاس وارون، شکل ۲-۳-ج، افزایش می یابد. در مورد نیمرسانای نوع p نیز می توان به نتایج مشابهی رسید [۱].

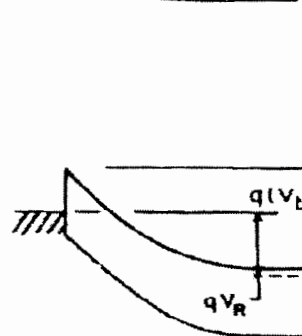
نیمرسانای نوع - n



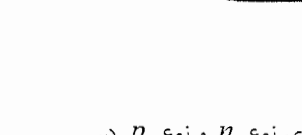
نیمرسانای نوع - p



(الف)



(ب)



(ج)

شکل ۳-۲- نمودار نوار انرژی فلز / نیمرسانای نوع n و نوع p در

(الف): تعادل گرمایی، (ب): بایاس مستقیم و (ج): بایاس وارون [۱].

نتایج اتصال فلز- نیمرسانا مشابه نتایج پیوندگاه پله ای یک طرفه می باشد. لذا در مورد اتصال

شاتکی روابط زیر برقرار است:

$$W = \sqrt{\frac{2\epsilon_s}{qN_D} (V_{bi} - V)} \quad (6-2)$$

$$\epsilon_m = \sqrt{\frac{2qN_D}{\epsilon_s} (V_{bi} - V)} = \frac{2(V_{bi} - V)}{W} \quad (7-2)$$

که ϵ_m بیشینه شدت میدان الکتریکی داخلی و W پهنهای تهی لایه است. ولتاژ اعمال شده V در معادلات فوق در شرایط بایاس مستقیم و وارون به ترتیب مثبت و منفی لحاظ می شود. ϵ نیز ضریب گذردهی نیمرسانا بوده و در مورد سیلیکون $\epsilon = 11/9$ است [۱].

۲-۲- سازوکارهای انتقال جریان در دیودهای شاتکی فلز- نیمرسانا

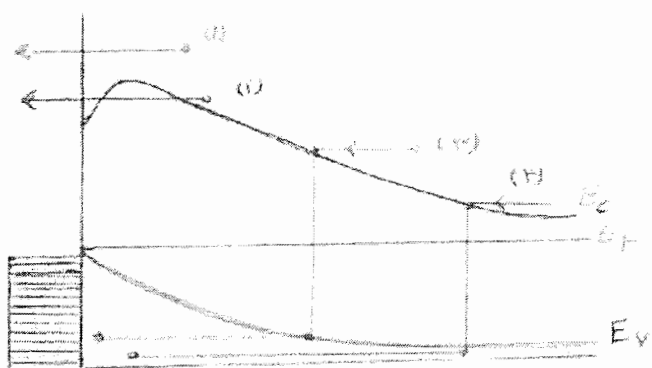
سازوکارهای مختلفی که در تراپری حامل‌ها در شرایط بایاس مستقیم در اتصالات فلز- نیمرسانا سهیم‌اند در شکل ۴-۲ بصورت شماتیک نشان داده شده است. (در بایاس وارون جهت حرکت حامل‌ها معکوس است). این سازوکارها عبارتند از [۸]:

(۱) گسیل گرما- یونی حامل‌ها از بالای سد پتانسیل؛

(۲) تونل زنی کوانتمی از داخل سد؛

(۳) بازترکیب در تهی لایه؛

(۴) بازترکیب در ناحیه خنثی یا تزریق حامل‌های اقلیت؛



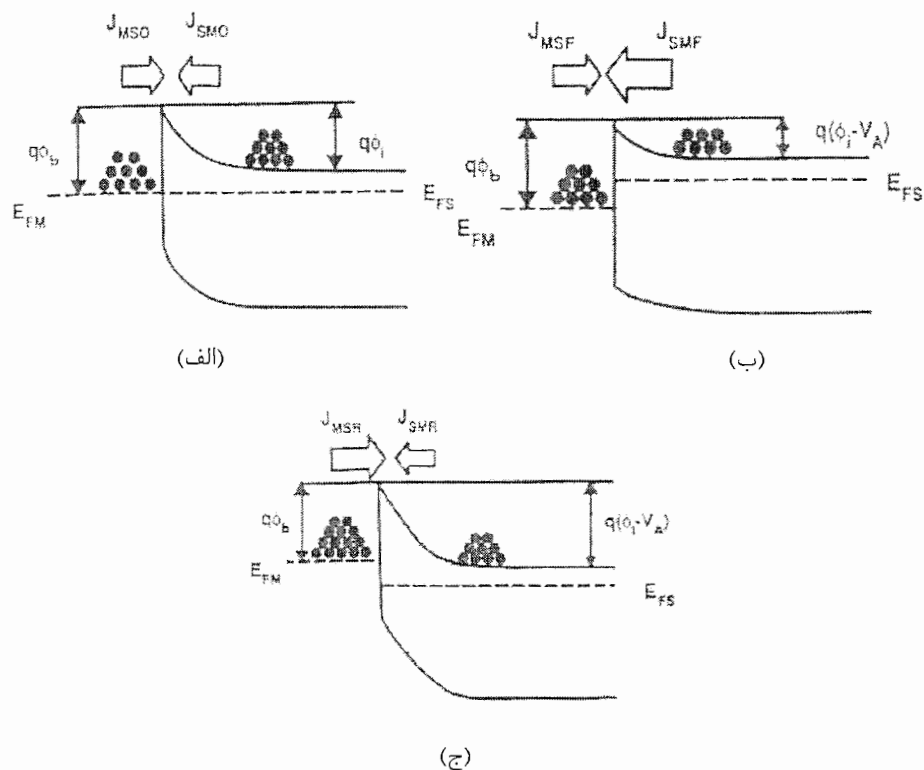
شکل ۴-۲- سازوکارهای تراپری حامل‌ها در دیودهای شاتکی [۹].

چنانچه سازوکار اول بیشترین سهم را در تراپری حامل‌ها بر عهده داشته باشد، آن قطعه دیود شاتکی ایده آل نام دارد. سایر سازوکارها باعث انحراف رفتار دیود از وضعیت ایده آل می‌شوند. به دلیل آنکه در این پایان نامه به بررسی رسانندگی در دیودهایی پرداخته ایم که سه سازوکار اول در آنها غالب است، لذا در ادامه به بررسی مختصر آنها می‌پردازیم.

۲-۱- گسیل گرما- یونی حاملها از بالای سد پتانسیل

از آنجا که دیودهای شاتکی با نیمرساناهای بطور متوسط آلایش یافته- مثلا Si با $N_D \leq 1 \cdot 10^{17} cm^{-3}$ در دمای متوسط (۳۰۰ کلوین) عمل می‌کنند؛ لذا سازوکار غالب، گسیل

گرما-یونی^۱ (*TE*) حامل های اکثریت از بالای سد پتانسیل است [۱]. شکل ۲-۵-۱ فرایند گسیل گرما-یونی را در شرایط تعادل گرمایی و اعمال بایاس خارجی نشان می دهد. در تعادل گرمایی (شکل ۲-۵-الف) جریان از نیمرسانا به فلز و بالعکس با هم برابر و مخالف یکدیگرند. بدین ترتیب جریان خالص صفر می شود.



شکل ۲-۵-گسیل گرما-یونی الکترون ها از بالای سد پتانسیل در شرایط
(الف): تعادل گرمایی، (ب): بایاس مستقیم، (ج): بایاس وارون [۱].

در حالت اعمال بایاس خارجی به پیوندگاه (شکل های ۲-۵-ب و ج) چگالی الکترون ها در سطح پیوندگاه فلز-نیمرسانا بعلت تغییر ارتفاع سد پتانسیل، تغییر می کند. بنابراین جریان خالص تحت بایاس برابر خواهد بود با [۱]:

$$I = I_s \left(e^{\frac{qV}{kT}} - 1 \right) \quad (8-2)$$

چنانچه فرایندهای دیگری نیز علاوه بر سازوکار گسیل گرما- یونی در تراپری حامل ها مؤثر باشند
معادله (۸-۲) به صورت زیر در می آید[۱۱،۱۲،۱۳،۱۴،۱۵]:

$$I = I_s \exp\left(\frac{qV}{nkT}\right) \left(1 - \exp\left(-\frac{qV}{kT}\right)\right) \quad (9-2)$$

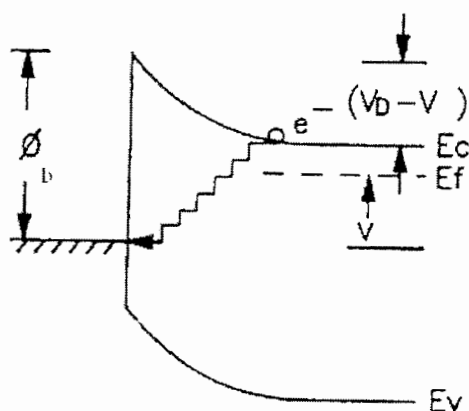
که در آن n ضریب ایده آلی بوده و مقدار آن وقتی گسیل گرما- یونی فرایند غالب در رسانندگی
حامل ها باشد، یک خواهد بود. I_s جریان اشباع دیود بوده و با معادله زیر داده می شود:

$$I_s = A_{eff} A^* T^2 \exp\left(\frac{-q\phi_b}{kT}\right) \quad (10-2)$$

که در آن A^* به ضریب ریچاردسون ($A/K^2 cm^2$) برحسب موسوم بوده و با جرم مؤثر (m^*) در
نیمرسانان متناسب است[۸]. مقدار این کمیت برای Si نوع n و p به ترتیب 110 و 32 می باشد[۱].
 A_{eff} مساحت مؤثر دیود (cm^2) برحسب در عمل می توان از برون یابی منحنی
داده های $I-V$ بایاس مستقیم (در $V=0$) را به دست آورد وسپس به کمک معادله (۱۰-۲)
ارتفاع سد شاتکی، ϕ ، را پیدا کرد.

۲-۲-۲- تونل زنی کوانتمی از داخل سد

حامل های بار علاوه بر فرایند گسیل گرما- یونی می توانند با تونل زنی نیز از سد شاتکی عبور
کنند[۱]. برای این منظور آنها مسیرهای مختلفی را طی می کنند که یکی از آنها مسیر پلکانی شکل
۶-۲ است. این فرایند در بایاس مستقیم، تونل زنی از طریق مراکز بازترکیب در تهی لایه نام دارد.



شکل ۶-۲- طرح شماتیک سازوکار تونل زنی از طریق مراکز بازترکیب در
تهی لایه در اتصال فلز/ نیمرسانانی نوع n در بایاس مستقیم[۱۱].

در فرایند تونل زنی از طریق مراکز بازترکیب در اتصال فلز/ نیمرسانای نوع n الکترون ها از طریق مجموعه ای از مراکز بازترکیب نزدیک به هم از لبه نوار رسانش نیمرسانا به فلز تونل می زند، (شکل ۶-۲). در این سازوکار الکترون پس از هر بارتونل زنی، اندکی از انرژی خود را از دست داده و به حالت انرژی پایین تر سقوط می کند. سرانجام الکترون پس از طی یک مسیر پلکانی به فلز می رسد. Riben^۱

رابطه زیر را برای جریان تونلی (I_{th}) در شرایط بایاس مستقیم ارائه داده است [۱۱]:

$$I_{\text{th}} = A_{\text{eff}} B_0 N_t e^{-(\alpha/\sqrt{R})(V_D - V)} \quad (11-2)$$

که در آن N_t چگالی مراکز گیر اندازی، A تعداد گام های تونلی مورد نیاز برای حرکت الکترون درون تهی لایه، V ولتاژ اعمالی و B_0 مقداری ثابت است. V_D و α نیز به ترتیب پتانسیل پخشی و ثابت کوانتومی می باشد که توسط روابط زیر مشخص می گردند:

$$V_D = \phi_b - \left(\frac{kT}{q} \right) \ln \left(\frac{N_C}{N_D} \right) \quad (12-2)$$

$$\alpha = (4/3\hbar) \left(m_n^* \epsilon_s / N_D \right)^{1/2} \quad (13-2)$$

که در آن ϕ_b ارتفاع سد شاتکی و N_D چگالی اتم های دهنده یونیده شده است. با جایگذاری مقدار

از رابطه زیر:

$$N_C = 2 \left(2\pi m_n^* k / h^2 \right)^{3/2} T^{3/2} \quad (14-2)$$

که در آن T ثابت پلانک است، در رابطه (۱۲-۲) خواهیم داشت:

$$V_D = \phi_b - \left(\frac{kT}{q} \right) \ln \left[\frac{2}{N_D} \left(\frac{2\pi m_n^* k}{h^2} \right)^{3/2} T^{3/2} \right] \quad (15-2)$$

با گرفتن لگاریتم طبیعی از طرفین رابطه (۱۱-۲) داریم:

$$\ln I_{\text{th}} = \left[\ln \left(A_{\text{eff}} B_0 N_t \right) - \frac{\alpha}{\sqrt{R}} \phi_b \right] + \frac{\alpha}{\sqrt{R}} \frac{k}{q} T \ln \left[\frac{2}{N_D} \left(\frac{2\pi m_n^* k}{h^2} \right)^{3/2} T^{3/2} \right] + \frac{\alpha}{\sqrt{R}} V \quad (16-2)$$

که می توان آن را به صورت ساده زیر نوشت:

$$\ln I_{\text{th}} = M_0 + AV + BT^3 \quad (17-2)$$

که در آن M_0 ، A و B بصورت زیر تعریف می شوند:

$$T' = T \ln \left[\frac{2}{N_D} \left(\frac{2\pi m_n^* k}{h^2} \right)^{3/2} T^{3/2} \right] \quad (18-2)$$

$$M_0 = \ln(A_{eff} B_0 N_r) - \left(\frac{\alpha}{\sqrt{R}} \right) \phi_b \quad (19-2)$$

$$A = \frac{\alpha}{\sqrt{R}} \quad (20-2)$$

$$B = \left(\frac{\alpha}{\sqrt{R}} \right) \frac{k}{q} \quad (21-2)$$

در شرایط بایاس وارون نیز حامل‌ها علاوه بر سازوکار گسیل گرما-یونی می‌توانند از طریق تونل زنی در جریان مشارکت نمایند. جریان ناشی از سازوکار تونل زنی زنی از رابطه زیر پیروی می‌کند [۱۱]:

$$I_r = A_{eff} C_0 V e^{-\lambda(V_D + V_r)^{-1/2}} \quad (22-2)$$

که در آن C_0 و λ مقادیر ثابت مثبت می‌باشند. V_D پتانسیل پخشی است که قبلاً با معادله (۱۵-۲) معرفی شده است. اگر از طرفین رابطه (۲۲-۲) لگاریتم طبیعی گرفته شود، خواهیم داشت:

$$\ln \left(\frac{I_r}{V_r} \right) = \ln(A_{eff} C_0) - \lambda(V_D + V_r)^{-1/2} \quad (23-2)$$

از آنجا که $A_{eff} C_0$ ثابت است، ثابت λ از رابطه زیر بدست می‌آید:

$$\lambda = - \frac{\alpha \ln \left(\frac{I_r}{V_r} \right)}{\alpha(V_D + V_r)} \quad (24-4)$$

بنابراین اگر در یک دمای معین منحنی $\ln(I_r/V_r) / (V_D + V_r)^{-1/2}$ را رسم کنیم، می‌توان با پیدا کردن شیب منحنی در محدوده ولتاژهای بزرگ، مقدار ثابت λ را در آن دما بدست آوریم.

۳-۲-۲- بازترکیب درون تهی لایه

نخستین بار یو و اسنو^۱ (۱۹۶۸) به اهمیت بازترکیب در تهی لایه اشاره کرده و تئوری هایی در این زمینه ارائه نمودند [۱۶]. در حالت بدون اعمال بایاس آهنگ تولید گرمایی جفت‌های $e-h$ در تهی لایه با آهنگ بازترکیب آنها برابر است. در این وضعیت شرط خنشابی بار یعنی $np = n_i^2$ برقرار است؛ اما وقتی بایاسی اعمال می‌شود این شرط برقرار نبوده و یک مقدار خالص تولید یا بازترکیب،

Yu, Snow^۱

بسته به اینکه چه بایاسی اعمال کرده ایم باقی خواهد ماند. بر اساس نظریه های شاکلی و رید و همچنین هال [۱۶]، مهم ترین مراکز بازترکیب در نیمرسانا در نزدیکی مرکز گاف نواری واقع است. جریانی که توسط تولید و بازترکیب در تهی لایه ایجاد می شود با رابطه زیر داده می شود [۲]:

$$I_r = I_{r,0} \left(\exp\left(\frac{qV}{2kT}\right) - 1 \right) \quad (25-2)$$

که در آن:

$$I_{r,0} = \frac{qA_{eff}n_i w}{2\tau} \quad (26-2)$$

که τ ، طول عمر حامل های اکثریت در تهی لایه، w پهنهای تهی لایه و n تراکم حامل های ذاتی است. این جریان معمولاً با جریان گسیل گرما- یونی همراه بوده و می تواند به انحراف ضریب ایده آلی از مقدار یک منجر شود.

۲-۳- عوامل انحراف مشخصه V - r بایاس وارون از وضعیت ایده آل

برطبق نظریه گسیل گرما- یونی، بزرگی جریان وارون دیود در حالت ایده آل از معادله (۱۰-۲) به دست می آید؛ ولی در بعضی موارد، همان طور که در گفتار چهارم خواهیم دید، عوامل متعددی سبب انحراف رفتار دیود از وضعیت ایده آل می شوند. در ادامه این بخش به معرفی این عوامل پرداخته ایم.

۲-۳-۱- وابستگی ارتفاع سد شاتکی به میدان الکتریکی

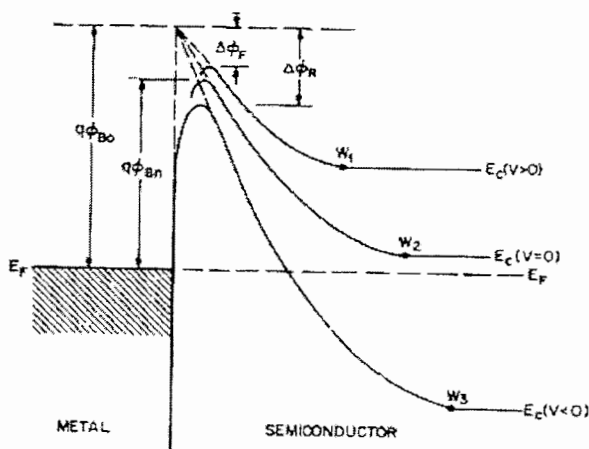
جریان اشباع معکوس I_r (معادله ۱۰-۲) در شرایطی صادق است که ارتفاع سد شاتکی ثابت باشد. چنانچه می دانیم ارتفاع سد شاتکی (ϕ_b) تحت تاثیر نیروی بار تصویری با افزایش بیشینه شدت میدان الکتریکی در سد (ϵ_{max}) کاهش می یابد [۱۷]. با توجه به متناسب بودن ϵ_{max} و V_r (ولتاژ بایاس وارون)، معادله (۷-۲)، با افزایش V_r جریان به اشباع نرسیده و متناسب با $\exp\left(\frac{\Delta\phi}{kT}\right)$ افزایش می یابد که $\Delta\phi$ همان کاهش ارتفاع سد به دلیل حضور میدان الکتریکی می باشد و برابر است با:

$$\Delta\phi = \left(\frac{q\epsilon_{ext}}{4\pi K\epsilon_0} \right)^{1/2} \quad (27-2)$$

که در آن K ثابت دی الکتریک نیمرسانا بوده و مقدار آن برای سیلیکون $11/9$ است [۱]. بنابراین جریان اشباع، معادله (۱۰-۲)، به صورت زیر درمی آید:

$$I_s = A_{eff} A^* T^2 \exp\left(\frac{-q(\phi_b - \Delta\phi)}{kT}\right) \quad (28-2)$$

شکل ۲-۲ اثر کاهش ارتفاع سد شاتکی را در بایاس مستقیم و وارون تحت تاثیر نیروی بار تصویری نشان می دهد.



شکل ۲-۲-۱ اثر کاهش ارتفاع سد در بایاس خارجی.

کاهش ارتفاع سد در بایاس مستقیم و وارون به ترتیب $\Delta\phi_R$ و $\Delta\phi_F$ است [۱].

۲-۳-۲- اثر تونل زنی

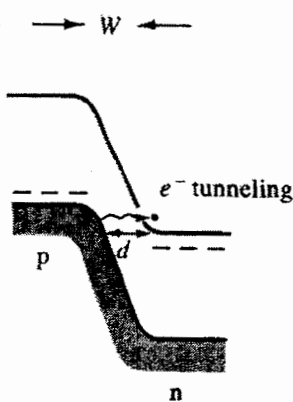
پدیده تونل زنی از داخل سد در بایاس وارون در مقایسه با بایاس مستقیم از اهمیت بیشتری برخوردار است. دلیل این مساله آنست که پهنهای سد پتانسیل در ولتاژهای وارون نسبتاً بزرگ در انرژی های کمتر از ارتفاع سد برای تونل زنی الکترون ها از فلز به نیمرسانا به اندازه کافی باریک می شود. این پدیده بخصوص در مجاورت نقاط گوشه ای اتصال فلز / نیمرسانا حائز اهمیت است؛ چون در این نقاط میدان الکتریکی بسیار بزرگ بوده و پهنهای سد به شدت باریک می شود. در بخش ۵-۲ این موضوع را بیشتر توضیح خواهیم داد.

۴-۲- سازوکارهای شکست پیوندگاه

اگر ولتاژ وارون به اندازه کافی بزرگی به پیوندگاه اعمال شود، پیوندگاه به شکست می رسد و جریان بسیار بزرگی را هدایت می کند. دو سازوکار مهم شکست عبارتند از: اثر زنر و تکثیر بهمنی [۱]. در این بخش به طور خلاصه به معرفی این فرایندها پرداخته ایم.

۱-۴-۲- شکست زنی

نظریه زنر در مورد شکست در سال ۱۹۳۴ ارائه شد. بر طبق آن اگر میدان الکتریکی قوی (از مرتبه $10^6 V/cm$ و بزرگتر) در راستای وارون به پیوندگاه اعمال شود، حامل‌ها به داخل سد شاتکی کشیده می‌شوند. این سازوکار کوانتمی تونل زنی نام دارد^[۱۷]. شرط اساسی برای شکست زنی این است که انبوهی از حالت‌های اشغال شده توسط یک سد باریک و کم ارتفاع از انبوهی از حالت‌های اشغال نشده جدا شود، (شکل ۸-۲). این شرایط در پیوندگاه‌هایی رخ می‌دهد که در آنها عرض تهی لایه بسیار کوچک است. در ولتاژ وارون کمتر از $17V$ ، ممکن است پهنهای تونل زنی، \mathcal{A} ، برای شروع این فرایند خیلی بزرگ باشد، اما با افزایش ولتاژ وارون (تا چند ولت)، پهنهای تونل زنی کاهش یافته و شکست زنی غالب می‌شود^[۲]. بزرگی میدان الکتریکی بحرانی برای وقوع پدیده تونل زنی زنری ارتباط مستقیمی با تراکم ناخالصی در دیود دارد، لذا این نوع شکست بیشتر در پیوندگاه‌های با آلایش بالا اتفاق می‌افتد^[۶].



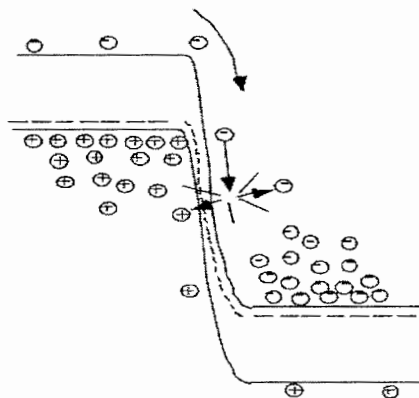
شکل ۸-۲- اثر زنر در بایاس وارون. الکترون از طرف p به طرف n تونل زده است^[۲].

۲-۴-۲- شکست بهمنی

عدم توجیه رفتار برخی دیودها به کمک نظریه زنر، مک آفی و مک کی^۱ را بر آن داشت تا نظریه جدیدی مبتنی بر تکثیر حامل‌ها ارائه دهند. این سازوکار در پیوندگاه‌های با آلایش متوسط رخ می‌دهد^[۱]. این فرایند شامل یونش برخوردی اتم‌های میزبان با حامل‌های پر انرژی است. فرایند

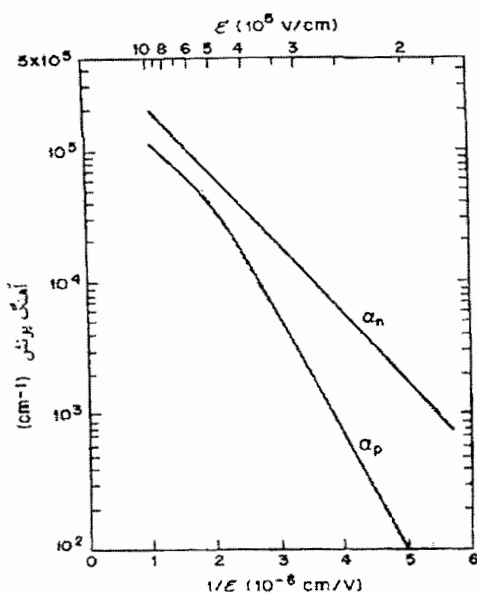
McAfee, McKay^۱

تکثیر به این صورت است که حامل ها در میدان های الکتریکی بالا می توانند آنچنان شتابدار شوند که در اثر برخورد با اتم های شبکه پیوند آنها را شکسته و زوج های الکترون - حفره ایجاد کنند؛ زوج های الکترون - حفره تولید شده نیز به نوبه خود فرایند را ادامه داده و زوج های دیگری تولید می کنند. این فرایند در شکل ۹-۲ نشان داده شده است.



شکل ۹-۲- طرح ساده ای نشان دهنده یونش برخوردی حامل ها [۳].

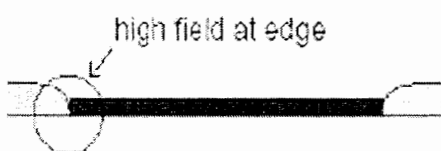
شکل ۱۰-۲ آهنگ یونش الکترون و حفره (α_n و α_p) را در مورد Si بر حسب میدان الکتریکی نشان می دهد. پیداست که با افزایش میدان الکتریکی، میزان یونش حامل ها افزایش می یابد.



شکل ۱۰-۲- میزان یونش اندازه گیری شده بر حسب میدان الکتریکی برای Si [۱].

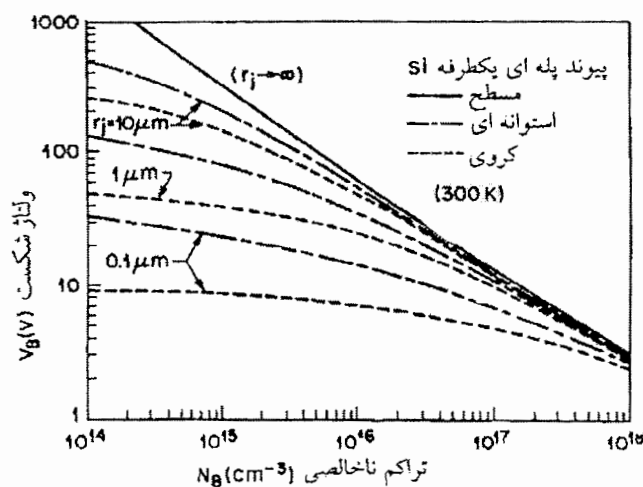
۱۲-۵-۲- اثر انحنای پیوندگاه روی ولتاژ شکست

معمولاً پیوندگاه فلز- نیمرسانا دارای ناحیه‌ای مسطح با لبه‌های تقریباً استوانه‌ای و نوک تیز است. اگر ماسکی که در لایه نشانی استفاده شده شامل گوشه‌های تیز باشد، گوشه پیوندگاه تقریباً کروی شکل خواهد بود [۱]، (شکل ۱۱-۲). از آنجا که نواحی کروی یا استوانه‌ای دارای شدت میدان بالاتری می‌باشند، لذا تعیین کننده ولتاژ شکست هستند.



شکل ۱۱-۲- لبه تیز در محل اتصال فلز- نیمرسانا.

در شکل ۱۲-۲ اثر انحنای پیوندگاه روی ولتاژ شکست بر حسب تراکم ناخالصی برای پیوندگاه پله‌ای یکطرفه Si نشان داده شده است. خط پر مربوط به پیوندگاه مسطح است. پیداست که در پیوندگاه‌های کروی با تراکم ناخالصی پایین (10^{14} cm^{-3})، ضمن آنکه شعاع پیوندگاه (r_j) کوچکتر می‌شود، ولتاژ شکست بطور شدیدی کاهش می‌یابد [۱].



شکل ۱۲-۲- ولتاژ شکست بر حسب تراکم ناخالصی برای پیوندگاه پله‌ای یکطرفه با شکل هندسی استوانه‌ای و کروی که در آن r_j شعاع انحنای پیوندگاه است [۱].

۶-۲- اتصال های فلز- سیلیکون

از مدت ها پیش معلوم شده است که سیلیکون در دمای بازپخت مناسب با عناصر زیادی از جدول تناوبی واکنش داده و تشکیل سیلیساید می دهد [۲]. از زمان کشف این مواد دانشمندان زیادی روی بررسی خواص و کاربرد آنها مطالعه کردند. آلومینیم رایج ترین فلز مورد استفاده برای اتصال با سیلیکون می باشد [۱۸]. از مهم ترین ویژگی های سیلیساید های فلزی علاوه بر سهولت ساخت می توان به موارد زیر اشاره کرد:

الف- از آنجا که مقاومت الکتریکی آنها شبیه فلز است، لذا به عنوان اتصال فلزی استفاده می شوند.

ب- در دیودهای شاتکی بعنوان یکسوساز کاربرد دارند.

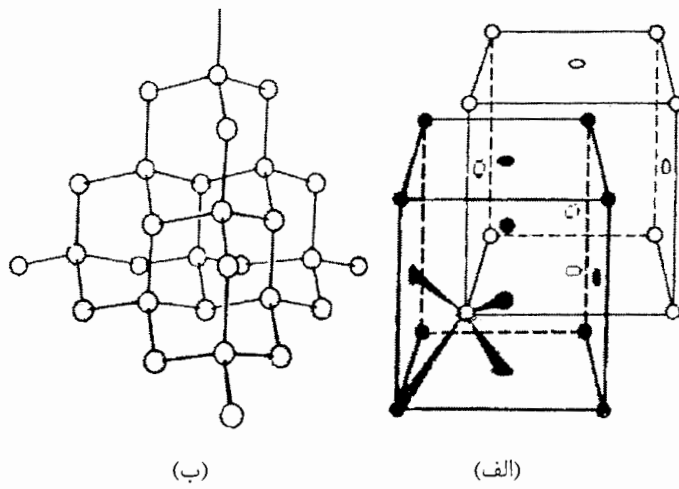
مهم ترین روش های ساخت سیلیساید عبارتند از: بازپخت کوره ای (*Furnace annealing*، بازپخت با لیزر (*CWLaser beam annealing*)، بازپخت با لیزر پالسی (*Pulsed Laser annealing*) و ترکیب اشعه- یون (*Ion- Beam Mixing*) [۲].

۷-۲- مختصی از ویژگی های سیلیکون

از آنجا که در این پروژه رفتار دیودهای شاتکی حاصل از اتصال Si با فلزات مختلف مورد توجه قرار گرفته است، لذا در این بخش به معرفی برخی از ویژگی های این ماده می پردازیم که در گفتارهای بعد از آنها استفاده نموده ایم.

۷-۱- ساختار بلوری

از نظر بلورشناسی سیلیکون دارای ساختار الماسی است. این ساختار را می توان به صورت دو شبکه fcc در هم رفته توصیف کرد که در امتداد قطر اصلی به اندازه ربع طول آن جایجا شده اند، شکل ۱۳-۲-الف. یک مدل مفید برای درک ساختار الماسی این است که هر اتم را در مرکز یک چهاروجهی تصور کنیم که چهار اتم بلافصل آن در چهار گوشه آن چهار وجهی قرار دارند [۱۹]، شکل ۱۳-۲-ب.



شکل ۱۳-۲- (الف) ساختار الماسی از دو شبکه fcc در هم فرورفته تشکیل شده است.

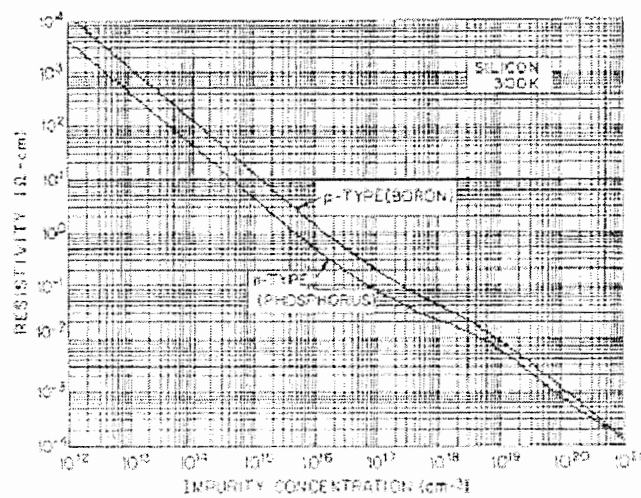
(ب) آرایش چهاروجهی اتم‌ها در ساختار الماسی [۱۹].

سیلیکون، نیمرسانایی با گاف نواری غیر مستقیم می‌باشد که بزرگی آن در دمای اتاق

$11/2\text{ eV}$ است [۱].

۲-۷-۲- وابستگی مقاومت ویژه زیرلایه به تراکم ناخالصی

چنانچه مقاومت ویژه لایه سیلیکون معلوم باشد، تراکم ناخالصی آن را می‌توان با استفاده از شکل ۱۴-۲ به دست آورد. در این شکل مقاومت ویژه اندازه گیری شده سیلیکون نوع p و n بر حسب تراکم ناخالصی در دمای اتاق نشان داده شده است.



شکل ۱۴-۲- مقاومت ویژه بر حسب تراکم ناخالصی در Si [۱]

مراجع

- 1- S.M.Sze, 1981: *Physics of semiconductor devices*, Wiley.
- 2- B.L.Sharma, 1984: *Metal semiconductor Schottky barrier junction & their application*, Plenum press, Newyork & London.
- 3- B.G.Streetman, 1990: *Solid state electronic device*, Third edition, Prentice-Hall.
- 4- W.Schottky, 1938, *Naturwissen schaften*, 26, 843.
- 5- N.F.Mott, 1938: *Note on the contact between a metal & an insulator or semiconductor*, Proc.Camb.Phil. Soc.34, 568-572.
- 6- رشید فریور، ۱۳۸۳: متخلخل سازی سلیکون و لایه نشانی پلاتین بر روی سلیکون به منظور ساخت آشکارساز شاتکی، پایان نامه کارشناسی الکترونیک، دانشگاه خواجه نصیرالدین طوسی.
- 7- نوید علائی شینی، ۱۳۸۱: ساخت آرایه آشکارساز $PtSi$ و تصویربرداری با آن، پایان نامه کارشناسی ارشد الکترونیک، دانشگاه صنعتی امیرکبیر.
- 8-E.H.Rhoderick, 1974: *Metal semiconductor contacts*, Institute of Phys. Conf., ser. No.22.
- 9- منصور محتشمی فر، ۱۳۷۹، اثر سلیکون متخلخل بر روی کارایی کوانتمی آشکارساز $PtSi / Si$ ، پایان نامه کارشناسی ارشد، دانشگاه صنعتی مالک اشتر.
- 10- J.Liou, 1994: *Advanced semiconductor device physics & modeling*.
- 11- A.Bindal, R.Wachnik, W.Ma, 1990: *Observation of recombination center-assisted current in Al(Cu) penetrated PtSi/Si Schottky diodes*, J.Appl. Phys. 68(12), 6259-6262.
- 12- D.B.Dimitrov, 1995: *Cyrrent-voltage characterization os porous silicon layers*, Physical Review B, 51(3), 1562-1566.
- 13- S.Karatas, 2005: *Comparision of electrical parameters of Zn/p-Si & Sn/p-Si Schottky barrier diodes*, Solid state communication, 135, 500-504.
- 14- M.Siad, A.Keffous, S.Mamma, Y.Belkacem, H.Menari, 2004: *Correlation between series resistance & parameters of Al/n-Si & Al/p-Si Schottky barrier*, Appl. Surface sci., 236, 366-376.
- 15- M.Witmer, 1991: *Conduction mechanism in PtSi/Si Schottky diodes*, Physical Review B, 43(5), 4385-4895.
- 16- E.H.Rhoderick, Williams, 1988: *Metal semiconductors contacts*.
- 17- ادوارد س. یانگ، ۱۳۷۰: مبانی قطعات نیمرسانا، ناصر تجیر، چاپ اول، مرکز نشر دانشگاهی.
- 18- J.J.Sparkes, 1994: *Semiconductor devices*.
- 19- احمد روزبرگ، ۱۳۷۶: فیزیک حالت جامد، حسین عشقی، حسن عزیزی، چاپ اول، مرکز نشر دانشگاهی.
- 20- Metal semiconductor contacts, 2002, *Integrated microelectronic devices*, lecture 16.
- 21- C.David Todd, 1970: *Zener & avalanche diodes*.

گفتار سوچ

آشکارسازهای نوری شاتکی

- مقدمه
- آشکارسازهای شاتکی فلز / نیمرسانا

مقدمه

بی تردید نخستین آشکارساز امواج نوری چشم انسان بوده است. در طی سالیان دراز تلاش بشر برای افزایش توانایی چشم در آشکارسازی به طراحی و ساخت وسایل اپتیکی نظیر تلسکوپ و تداخل سنج منجر شد [۱]. با وجود اینکه بیش از دویست سال پیش، ویلیام هرشل، ناحیه مادون قرمز (IRⁱ) را در طیف الکترومغناطیسی کشف کرد، ولی به دلیل محدودیت‌های تکنیکی و ناتوانی در توجیه پدیده‌های مرتبط، تا مدت‌ها پیشرفت چندانی در عرصه آشکارسازی مخصوصاً در گستره این طول موج‌ها، μm $0.7 \times \lambda$ ، حاصل نشد. نخستین دستاوردها در این عرصه به زمان جنگ جهانی دوم برای کاربرد نظامی "دید در شب" بر می‌گردد [۲].

کار اصلی آشکارسازها، تعیین انرژی تابشی یک یا گستره‌ای از طول موج‌های است. برای این منظور آنها باید سیگنالی تولید کنند که متناسب با مقدار انرژی جذب شده است. آشکارسازها با توجه به اینکه بر اساس تابش شار فوتون و یا با استفاده از ماده‌ای که ویژگی‌هایش به دما حساس است عمل کنند، به دو دسته آشکارسازهای نوری و آشکارسازهای حرارتی تقسیم می‌شوند. امروزه آشکارسازهای نوری فراوانی برای عملکرد در شرایط متفاوت ساخته شده‌اند. این آشکارسازها به طرق مختلفی تقسیم بندی شده‌اند که از آن جمله می‌توان به طیف امواجی که نسبت به آن حساس می‌باشند اشاره کرد.

در این گفتار به نحوه عملکرد آشکارسازهای شاتکی نوری مادون قرمز و معرفی برخی پارامترهای مرتبط با آن می‌پردازیم.

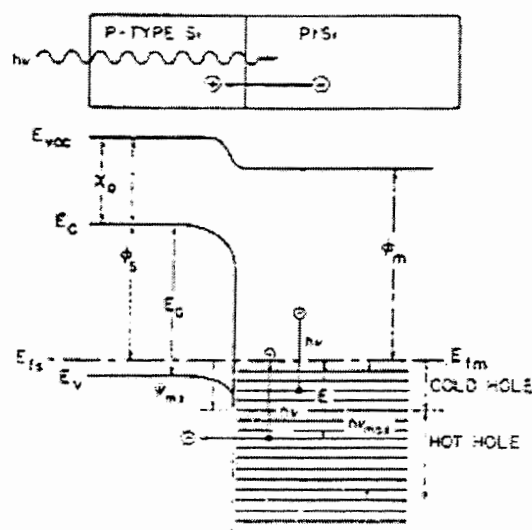
ⁱInfrared

۱-۳- آشکارسازهای شاتکی فلز / نیمرسانا

آشکارسازهای شاتکی در گستره طول موج های فرابنفش^۱، مرئی و مادون قرمز کاربرد دارند. فلزات مختلفی برای ساخت این قطعات به کار می روند که مهم ترین آنها پلاتین، پالادیم و ایریدیم است. از آنجا که ما در این پژوهه علاقه مند به بررسی ویژگی های اپتیکی آشکارساز $PtSi/p-Si$ و تاثیر متخلخل سازی Si بر عملکرد این قطعه می باشیم، لذا توجه خود را در ادامه این گفتار به شناخت ساختار و فرایندهای مرتبط با آشکارسازی فوتون ها در این قطعه معطوف کرده ایم.

آشکارساز $PtSi/p-Si$ رایج ترین آشکارساز در ناحیه $3-5 \mu m$ می باشد^[۲]. به دلیل کوتاه بودن ارتفاع سد شاتکی در این آشکارساز، $22 eV$ و افزایش قابلیت آن در آشکارسازی فوتون ها، از آن در دمای پایین (۷۷ کلوین) استفاده می شود.

نوار انرژی اتصال $PtSi/Si$ در شکل ۱-۳ نشان داده شده است. لایه سیلیساید مانند فلز رفتار می کند و اتصال $PtSi/Si$ شبیه اتصال فلز / نیمرسانا بوده و خاصیت یکسوسازی نشان می دهد. آنچه باعث استفاده روزافزون از این آشکارساز شده، سادگی ساخت و ارزانی آن نسبت به دیگر آشکارسازها، قابلیت انطباق با مدارات مجتمع سیلیکونی، پایین بودن نویز، دمای ساخت پایین و یکسان بودن مشخصات آشکارسازها در تولید انبوه است^[۳].



شکل ۱-۳ - نوار انرژی آشکارساز $PtSi/p-Si$

۱-۱-۳- نحوه آشکارسازی در آشکارساز شاتکی $PtSi/Si$

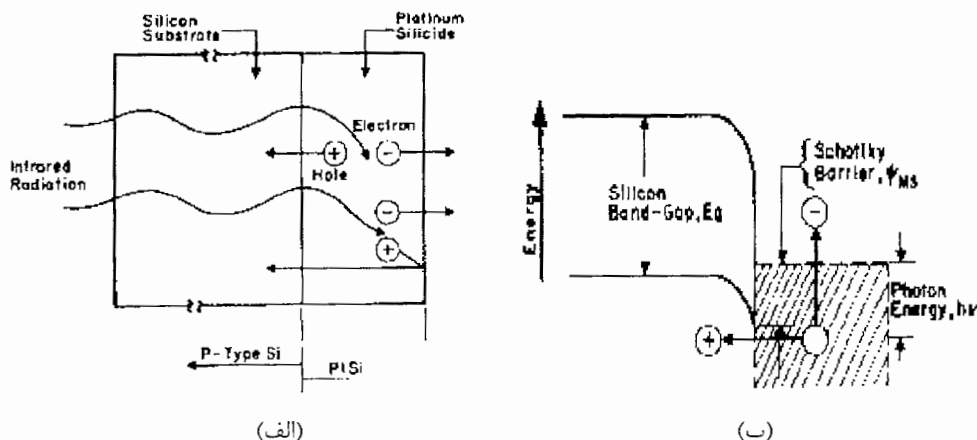
دیود شاتکی $PtSi/Si$ نخستین بار در سال ۱۹۷۳ برای آشکارسازی امواج IR ساخته شد [۶، ۵].

آشکارساز $PtSi/Si$ به دو صورت به کار برده می شود به این معنی که می توان فوتون ها را هم از سمت Si (پشت) و هم از سمت لایه سیلیساید (جلو) تاباند. شکل ۲-۳-الف چگونگی آشکارسازی در قطعه فوق را در شرایطی که فوتون ها از سمت پشت، یعنی از سمت Si تابانده شده اند، نشان داده است. آن تعداد از فوتون ها که انرژی کمتر از گاف نواری Si ، 11 eV ، دارند (این مقدار در مورد Si متخلخل به طور متوسط $1/8\text{ eV}$ است [۷]) از آن عبور کرده و در لایه سیلیساید جذب و در آنجا باعث تولید حفره هایی در تراز های پایین تر از تراز فرمی می شوند (حفره های داغ). حفره های داغی که در مرز Si و سیلیساید تشکیل می شوند قادرند از سد شاتکی عبور کنند، داخل Si تزریق می شوند. بنابراین به طور خلاصه می توان سه مرحله برای آشکارسازی فوتون ها در نظر گرفت:

(الف) تحریک نوری ، (ب) ترابرد و (ج) گسیل حامل ها از بالای سد شاتکی. چنانچه سازوکار گسیل حامل های داغ TE باشد، فوتون هایی آشکار می شوند که انرژی آنها به صورت زیر باشد:

$$\phi_b \langle h\nu \rangle E_g \quad (1-3)$$

که در آن E_g و ϕ_b به ترتیب گاف نواری Si و ارتفاع سد شاتکی می باشد [۴، ۲].

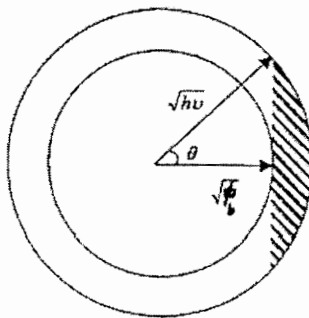


شکل ۲-۳- (الف): نحوه آشکارسازی در آشکارساز $PtSi/p-Si$

(ب): گسیل حفره های داغی که می توانند از سد شاتکی عبور کنند [۸].

به بیان دیگر کسری از حامل های داغ می توانند به داخل نیمرسانای Si تزریق شوند که مؤلفه عمودی اندازه حرکت آنها در فصل مشترک سیلیساید و Si برای غلبه بر سد شاتکی کافی باشد. حامل های داغی که چنین شرطی را دارا باشند در یک قطاع کروی در فضای اندازه حرکت قرار دارند، شکل ۳-۳، θ زاویه فضایی حفره هایی است که در این قطاع قرار دارند و بیشترین مقدار آن از رابطه زیر به دست می آید[۴]:

$$\theta = \cos^{-1} \left(\sqrt{\frac{\phi_b}{hv}} \right) = \cos^{-1} \left(\sqrt{\frac{\phi_b \lambda}{1.24}} \right) \quad (3-3)$$



شکل ۳-۳- طرح ساده ای از کسری از حامل ها در فضای اندازه حرکت که توانایی عبور از سد را دارند[۹].

رابطه (۱-۳) اساس تعریف کمیتی به نام طول موج قطع است که در بخش بعد به آن می پردازیم.

۳-۱-۲- طول موج قطع در آشکارساز شاتکی $PtSi/Si$

همان گونه که در بخش قبل توضیح داده شد، معادله (۱-۳)، توانایی گسیل حامل های تحریک شده از بالای سد به انرژی فوتون تابیده و ارتفاع سد شاتکی بستگی دارد. فوتون های تابیده بعد از جذب در لایه سیلیساید سبب تحریک حفره ها از حالت های پایینی تراز فرمی خواهند شد. حفره های تولید شده می توانند حرکت کرده و به ترازهای مجاز در نوار ظرفیت نیمرسانا گسیل شوند. جزئیات این فرایند در شکل ۱-۳ نشان داده شده است. چنانچه انرژی فوتون های تابیده شده کمتر از سد پتانسیل شاتکی باشد، حفره های تولید شده در لایه سیلیساید انرژی کافی برای عبور از بالای سد

را نخواهند داشت، شکل ۳-۲-ب، لذا تابش با طول موج های بالاتر از λ_c آشکار نخواهد شد.

عنوان طول موج قطع آشکارساز تعریف شده و از رابطه زیر به دست می آید:

$$\lambda_c(\mu m) = \frac{1.24}{\phi_b(eV)} \quad (4-3)$$

با در نظر گرفتن ارتفاع سد شاتکی برای آشکارساز $Si / PtSi$ نوع p و n (به ترتیب 0.22 و 0.86 الکترون ولت) و چنانچه سازوکار TE فرایند غالب در گسیل حامل های داغ باشد، طول موج قطع در این آشکارسازها به ترتیب $5/6 \mu m$ و $1/46 \mu m$ است [۴]. تکنیک های مختلفی برای افزایش طول موج قطع در آشکارسازها پیشنهاد شده است که همگی مبتنی بر کوچکتر کردن ارتفاع سد شاتکی هستند [۱۰]. بدیهی است در صورتی که فرایندهای دیگری از قبیل تونل زنی در تزریق حامل های داغ از داخل سد شاتکی به لایه Si مؤثر باشند، آشکارسازی فوتون ها محدود به طول موج هایی که از معادله (۲-۳) به دست می آیند نخواهد بود. این موضوع در بخش ۲-۵ بررسی شده است.

۲-۱-۳ - پاسخ در آشکارساز شاتکی $PtSi / Si$

یکی از مشخصه های مهم آشکارساز، پاسخ آن است که به صورت جریان خروجی به ازای واحد توان ورودی تعریف می شود:

$$R = \frac{I}{P} \quad (5-3)$$

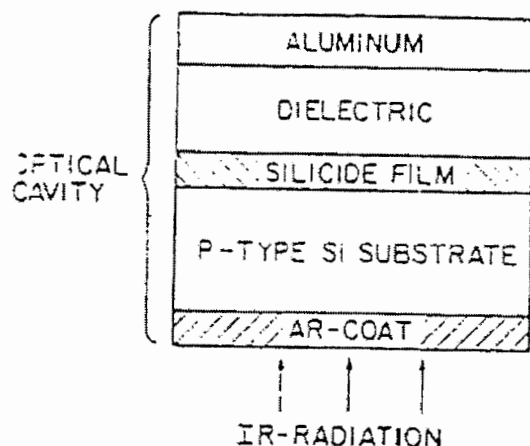
که I و P به ترتیب جریان خروجی قطعه و توان منبع و R پاسخ بر حسب A/W است [۱۱]، پاسخ آشکارسازهای شاتکی از رابطه فاولر به دست می آید [۱۲]:

$$R = C_1 \left(1 - \frac{\phi_b \lambda}{1.24} \right)^2 \quad (6-3)$$

که در آن λ طول موج تابش μm و C_1 ضریب بازده کوانتومی بر حسب V^{-1} بوده و برای آشکارساز $PtSi / Si$ معمولاً $5V^{-1}/5W$ است [۱۱]. از معادله (۶-۳) پیداست که پاسخ آشکارساز به شدت به طول موج فوتون های تابشی وابسته است.

از آنجا که آشکارسازهای شاتکی در گستره $3-5 \mu m$ پاسخ بسیار کوچکی دارند $(10^{-4} A/W)$ [۱۴.۱۳.۱۰.۸]، لذا روش های مختلفی برای بهبود آن به کار گرفته شده است، که از آن جمله می توان به استفاده از ضخامت بهینه لایه سیلیساید و نیز کاواک نوری اشاره کرد. از نکات مهم

در هنگام لایه نشانی سیلیساید آن است که هرقدر این لایه ضخیم تر باشد احتمال جذب فوتون ها در آن افزایش یافته لکن تعداد برخوردهایی که حامل ها پیش از رسیدن به فصل مشترک متحمل می شوند افزایش می یابد که این مساله به کاهش پاسخ می انجامد. بنابراین چنانچه ضخامت لایه سیلیساید قابل مقایسه با مسافت آزاد میانگین حامل های داغ باشد، جریان نوری قطعه افزایش خواهد یافت[۴]. این مقدار برای آشکارساز $Si / PtSi$ معمولی $A^* = 100 - 20$ گزارش شده است[۱۵]. روش دیگر برای بهبود پاسخ قطعه استفاده از کاواک نوری است که اجزای آن در شکل ۴-۳ نشان داده شده است.



شکل ۴-۳- طرح ساده شده کاواک نوری [۴].

بطور کلی این ساختار به دلیل داشتن لایه ضد بازتاب و بویژه لایه آلومینیمی، که به عنوان آینه عمل کرده و در بازگرداندن فوتون های جذب نشده به لایه سیلیساید مؤثر است، احتمال جذب فوتون ها و در نتیجه پاسخ قطعه را افزایش خواهد داد[۴].

مراجع

- ۱- محمد هادی رئیسیان، ۱۳۸۲، آشکارسازهای نوری، سمینار کارشناسی ارشد.
- ۲- P.N.Dennis, 1986, *photodetectors an introduction to current technology*.
- ۳- F.Raissi, M.Mohtashami Far, 2002: *highly sensitive PtSi/Porous silicon Schottky detectors, IEEE sensors journal, 2(5)*.
- ۴- منصور محتشمی فر، ۱۳۷۹، اثر سلیکون متخلخل بر روی کارایی کوانتمی آشکارساز $PtSi / Si$ ، پایان نامه کارشناسی ارشد، دانشگاه صنعتی مالک اشتر.
- ۵- F.D.Shepherd, A.C.Yang, 1973: *Si Schottky retainsfor infrared imaging, in IEDM tech. Dig.*
- ۶- F.D.Shepherd, 1994: *recent advances in platinum silicide IR focal plane arrays, in IEDM tech. Dig.*
- ۷- J.T.Frederiksen, P.G.Melcher, E.Veje, 1998: *Electrical bandgap energy of porous Silicon & the band offsets at the porous silicon/C-Si heterojunction measured versus sample temperature, Physical Review B, 58(12), 8020-8024.*
- ۸- E.L.Dereniak, R.E.Sampson, 1990: *IR detectors & focal plane arrays, Proceedings SPIE the international society for optical engineering*.
- ۹- F.Raissi, 2003: *A possible explanation for high quantum efficiency of PtSi/Porous Silicon Schottky detectors, IEEE transactions on electron device, 50(4), 1134.*
- ۱۰- S.Tohyama, 1995: *A high fill factor & progressive scan PtSi Schottky barrier IR-CCD image sensor using new wiring technology, IEEE transactions on electron device42(8).*
- ۱۱- اسرافیل راثی، ۱۳۷۶، طراحی و ساخت دیود شاتکی $PtSi / Si$ ، پایان نامه کارشناسی ارشد، دانشگاه شهید بهشتی.
- ۱۲- J.Cohen, J.Vilms, R.J.Archer, 1968: *investigation of semiconductor Schottky barriers for optical detection & cathodic emission, Air force Cambridge Research Labs, report no. 680651.*
- ۱۳- N.Yutani: *1040*1040 element PtSi Schottky barrier IR image sensor, IEDM(91-175).*
- ۱۴- B.Y.Tsaur, 1988. *Pt-Ir silicide Schottky barrier IR detectors, IEEE electron device letter 9(2).*
- ۱۵- W.F.Kosonochy, H.Elabd, 1983: *Schottky barrier IR charge- coupled device focal plane array, 27th SPIE Intenational Technical Symposium, 443.*
- ۱۶- H.Elabd, W.F.Kosonochy, 1982: *Theory & measurement of photoresponse for thin film Pd2Si & PtSi IR Schottky barrier detectors with optical cavity, RCA Review, 44.*
- ۱۷- W.F.Kosonochy, F.V.Shalleross, T.S.Villani, J.V.Gropp, 1985: *160*244 element PtSi Schottky barrier IR-CCD image sensor, IEEE transactions on electron device 32(8).*

- 18- J.Silverman, 1986, *mat. Res. Soc. Symp. Proc.* 54.
- 19- W.A.Cabanski, 1991, *IR phys.* 32.
- 20- J.M.Mooney, J.Silverman, 1985: *The theory of hot electron photoemission in Schottky barrier IR detector, IEEE transactions on electron device* ED32(1).

گفتار پهلوی

بررسی مشخصه $I-V$ دیودهای شاتکی
حاصل از اتصال فلز با Si معمولی و متخلخل

- مقدمه
- بررسی مشخصه $I-V$ دیودهای سد شاتکی فلز/سیلیکون نوع n
- بررسی مشخصه $I-V$ دیودهای سد شاتکی فلز/سیلیکون نوع p
- نتیجه گیری

مقدمه

پیش از مشاهده لومینسانس قوی سیلیکون متخلخل، تلاش های زیادی برای شناخت خواص الکتریکی این ماده صرف شد؛ اما بعد از این کشف بزرگ اکثر مطالعات روی بررسی خواص اپتیکی آن ماده متمرکز گردید [۱]. با وجود پیشرفت های اساسی ای که در زمینه ساخت و کاربرد سیلیکون متخلخل در قطعات الکترونیکی و اپتوالکترونیکی صورت گرفته است، هنوز شناخت کاملی از خواص الکتریکی و اپتیکی این ماده در دست نیست. آنچه به ناشناخته ماندن خواص الکتریکی سیلیکون متخلخل دامن می زند، قابلیت ساخت آن در ابعاد (ماکرومتر-مزومتر-میکرومتر) و شکل های ساختاری متفاوت (استوانه ای، قیفی، شاخه ای و...) است.

در این فصل ابتدا به بررسی سازوکارهای مؤثر در رسانندگی دیودهای شاتکی در اتصالات مربوط به فلزهای گوناگون، شامل سیلیساید ($PtSi$)، طلا (Au)، آلومینیم (Al) و رسانای شفاف اکسید ایندیوم قلع (ITO)، با زیرلایه Si در شرایط بایاس مستقیم و وارون می پردازیم. با توجه به اینکه یکی از اهداف ما از این بررسی ها شناخت سازوکارهای مؤثر تراابری حامل ها در شرایط بایاس وارون در آشکارسازهای مادون قرمز است که در گفتار پنجم به تشریح برخی داده های گزارش شده پرداخته شده، لذا لازم می آید نخست فرایندهای مؤثر در مشخصه V - I این قطعات را در شرایط تاریکی شناسیم. در ادامه ابتدا به بررسی رفتار دیودهای شاتکی با زیرلایه Si غیر متخلخل و سپس نمونه های متخلخل به ترتیب با رسانندگی نوع n و p می پردازیم. به منظور تسهیل در بیان مطالب آتی در مواردی که با Si متخلخل سروکار داشته باشیم به صراحت گفته خواهد شد، در غیر این صورت منظور ما از زیرلایه Si ، همان سیلیکون معمولی و بدون تخلخل خواهد بود.

۴- بررسی مشخصه I-V دیودهای شاتکی فلز / Si نوع n

در این بخش قصد داریم به تحلیل مشخصه I-V دیودهای سد شاتکی فلز / Si نوع n در بایاس مستقیم و بایاس وارون بپردازیم. مشخصات نمونه های بررسی شده برای زیرلایه Si غیرمتخلخل و متخلخل به ترتیب در جداول ۱-۴ و ۲-۴ آمده است. (لازم به ذکر است که مقادیر گزارش نشده در این جداول ناشی از نامشخص بودن آنها در مقالات مربوطه می باشد).

جدول ۱-۴- برخی ویژگی های دیودهای فلز / Si نوع n.

فلز اتصال	مساحت مؤثر دیود (cm^2)	تراکم آلایش زیرلایه (cm^{-3})	سمتگیری زیرلایه Si	پژوهشگر	شماره
PtSi	2×10^{-6}	2×10^{17}	-	Bindal [۷]	۱
PtSi	2×10^{-3}	10^{15}	(۱۰۰)	Witmer [۸]	۲

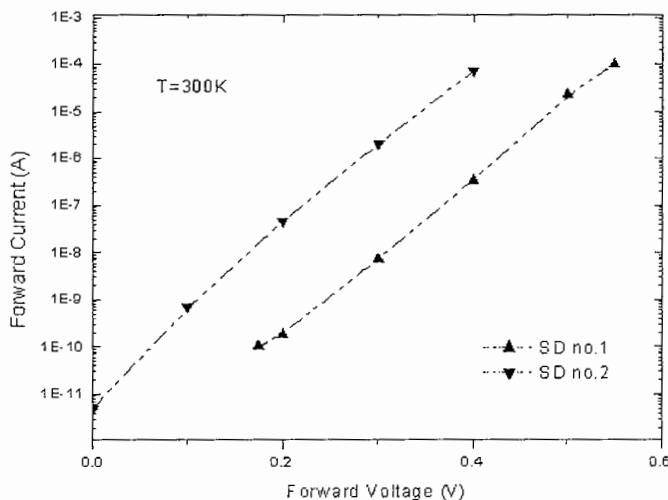
جدول ۲-۴- برخی ویژگی های دیودهای فلز / Si متخلخل نوع n. مقادیر ذکر شده در داخل پرانتز در ستون درصد تخلخل پیش بینی ما مبتنی بر مطالب بخش ۱-۳-۱ است و مؤلف گزارشی در این مورد نداشته است.

درصد تخلخل	چگالی جریان در روش خوردنگی الکتروشیمیایی (mA/cm^2)	فلز اتصال	مساحت مؤثر دیود (cm^2)	مقاومت ویژه زیرلایه (Ωcm)	سمتگیری زیرلایه Si	پژوهشگر	شماره
%۴۰ %۶۰	۵ ۳۰	Al	25×10^{-5}	$0.006 - 0.015$	(۱۱۱)	Algún [۹]	۱
(%۷۰)	۱۰۰	Au	-	۰.۰۱۸	(۱۱۱)	Oguro [۱۰]	۲
%۵۰	۵۰	PtSi	۲	۱۰-۳۳	(۱۰۰)	Raissi [۱۱]	۳

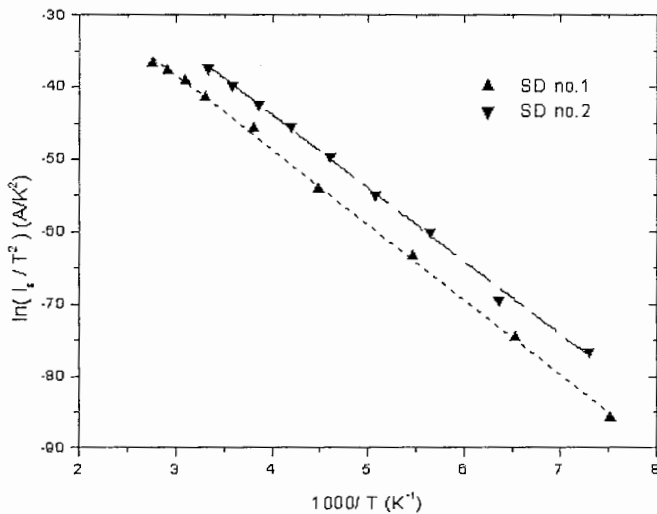
۱-۱-۴- مشخصه $I-V$ دیودهای شاتکی در شرایط بایاس مستقیم

الف) مشخصه $I-V$ دیودهای شاتکی با Si غیر متخلخل

گزارش ها نشان می دهد که گسیل گرما- یونی (TE) نقش مهمی در تحلیل رفتار مشخصه $I-V$ بایاس مستقیم دیودهای فلز/ Si معمولی بر عهده دارد [۲.۲]. شکل ۱-۴ مشخصه $I-V$ نمونه های ۱ و ۲ در جدول ۱-۴ را در شرایط بایاس مستقیم در دمای اتاق نشان می دهد. این داده ها که دریک نمودار نیم لگاریتمی رسم شده است، حاکی از تغییرات نمایی جریان با ولتاژ دارد. در این حالت می توان انتظار داشت که سازوکار TE ، معادله (۹-۲)، بتواند این رفتار را به خوبی توصیف کند. برای این منظور با رسم منحنی $\ln(I/I^2)$ بر حسب (I/I^2) (شکل ۲-۴) و پیدا کردن شبیب آنها ($k/q\phi_b/1000$)، می توان با استفاده از روش انطباق کوچکترین مربعات ارتفاع سد شاتکی (ϕ_b) را به دست آورد. لازم به ذکر است که I از برون یابی مشخصه $I-V$ (در $V=0$) به دست می آید. مقدار ضریب ایده آلی را نیز از انطباق داده های شکل ۱-۴ در معادله (۹-۲) به دست آورده ایم. جدول ۳-۴ نتایج این محاسبات را نشان می دهد. به منظور تائید صحت محاسبات مقادیر گزارش شده نیز در جدول آمده است.



شکل ۱-۴ - نمودار تغییرات جریان بر حسب تابعی از ولتاژ برای دیودهای شاتکی شماره ۱ و ۲ در جدول ۱-۴ [۲.۲].



شکل ۴-۲-برگرفته از داده های شکل ۱-۴ به منظور تعیین

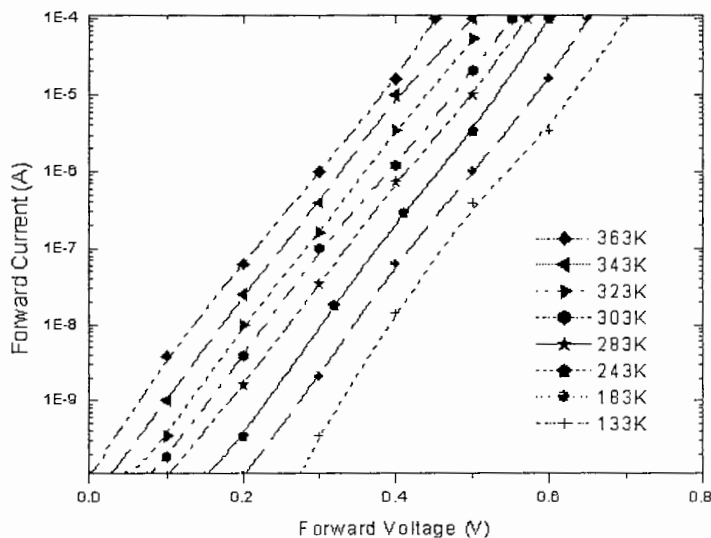
ارتفاع سد شاتکی برای دیودهای ۱ و ۲ در جدول ۱-۴.

جدول ۴-۳- مقادیر ضریب ایده آلی و ارتفاع سد محاسبه شده و
مقادیر گزارش شده برای نمونه های غیر متخخل جدول ۱-۴.

نمونه	محاسبه شده		گزارش شده	
	n	$\phi_b(eV)$	n	$\phi_b(eV)$
۱	۱	۰/۱۹	۱/۰۲	۰/۱۸
۲	۱/۰۴	۰/۱۹	۱/۰۲	۰/۱۹

در یک نمونه دیود شاتکی خود با افزودن و بازپخت آلیاژ $PtSi$ به $Al(Cu)$ با لایه $Bindal et.al.$ قطعه ای دست یافتند که مشخصه V - آن به ازای دماهای مختلف (۱۳۳-۳۶۳ کلوین) در شکل ۴-۳ نشان داده شده است. همانگونه که پیداست شیب مشخصه V - در این نمونه مستقل از دما است. این رفتار از ویژگی های جریان تونل زنی از طریق مراکز بازترکیب در تهی لایه، بخش ۲-۲-۲، می باشد. با توجه به معادله (۱۷-۲) درصورتی که هر یک از مجموعه داده های V - در یک دمای معین را که در شکل نشان داده شده است، به صورت تابعی از $\ln(V/V_0)$ بر حسب ولتاژ مستقیم اعمالی (V_a) رسم نماییم، شیب آن با مقدار A متناظر خواهد بود. با تعیین این مقدار در دماهای گوناگون می توان A میانگین را به دست آورد. با اطلاع از این مقدار و در نظر گرفتن معادله (۲۰-۲) و معلوم

بودن مقدار ثابت کوانتمی α ، که برابر ۱۵۹ می باشد^[۲]، می توان تعداد مراکز تونل زنی در تهی لایه را به دست آورد. نتایج محاسبات ما و مقادیر گزارش شده در جدول ۴-۴ نشان داده شده است که حاکی از توافق بسیار خوب بین آنها می باشد. در ادامه به بررسی سازوکارهای مؤثر در رسانندگی بایاس مستقیم دیودهای فلز / Si متخلخل می پردازیم.



شکل ۴-۳-۴- مشخصه $I-V$ دیود شاتکی که از بازپخت آلیاژ $PtSi/Al(Cu)$ با (نمونه شماره ۱ در جدول ۱-۴) ساخته شده است. همانطور که پیداست شب منحنی ها مستقل از دما است.^[۲]

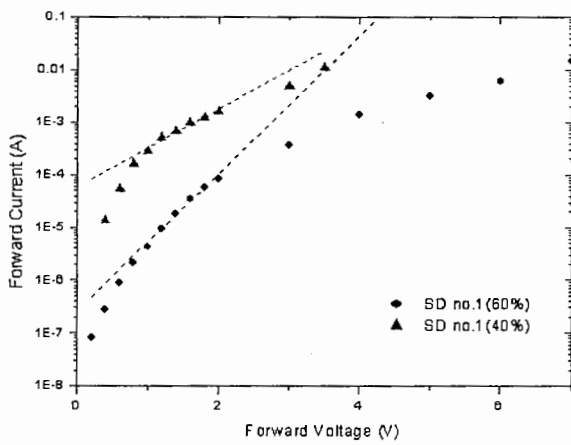
جدول ۴-۴- مقادیر محاسبه شده و گزارش شده (A) و تعداد مراکز تونل زنی در تهی لایه (R) .

	$A(A/V)$	R
محاسبه شده	۲۹/۶	۲۹
گزارش شده	۲۸	۳۲

ب) مشخصه $I-V$ دیودهای شاتکی با Si متخلخل

شکل ۴-۴ مشخصه $V-I$ قطعه شماره ۱، جدول ۲-۴، را در دمای اتاق نشان می دهد. بررسی های ما نشان می دهد که جریان گسیل گرما-یونی، معادله $(9-2)$ ، می تواند بیانگر رفتار

بخشی از تغییرات جریان- ولتاژ باشد. نتیجه محاسبات در شکل ۴-۴ به صورت خط چین، و مقادیر پارامترهای انطباق (n, ϕ_b) در جدول ۴-۵ آمده است. نکته جالب توجه در این محاسبات، بزرگی ضریب ایده آلی (10^{-30}) است که در نمونه های با Si غیر متخلخل، همان گونه که در بخش قبل بررسی شد، مقداری بین ۱ تا ۲ است. بعلاوه گزارش های دیگری نیز مبنی بر بزرگ بودن ضریب ایده آلی (بزرگتر از 10^0) در بایاس مستقیم وجود دارد [۵].



شکل ۴-۴- مشخصه دیود شاتکی با Si متخلخل شماره ۱ در دمای اتاق.

منحنی های خط چین نمایانگر انطباق نظریه گسیل گرمایونی می باشد.

جدول ۴-۵- مقادیر ضریب ایده آلی و ارتفاع سد در دیود شاتکی با Si متخلخل.

نمونه	محاسبه شده		گزارش شده	
	n	$\phi_b (eV)$	n	$\phi_b (eV)$
۱	$1/40$ ۲۳	-0.146	$1/40$ ۲۵-۳۰	$-0.154-0.157$
	$1/60$ ۱۳	-0.16	$1/60$ ۱۶-۲۲	$-0.154-0.157$

بزرگی ضریب ایده آلی به چگالی حالت های سطحی بالا در فصل مشترک پیوندگاه فلز / Si متخلخل نسبت داده شده است [۹،۸،۷،۴].

بحث فوق را می توان چنین خلاصه کرد که در دیودهای شاتکی با Si غیر متخلخل و متخلخل در شرایط بایاس مستقیم، سازوکار TE سهم عمده تراپری حامل ها را در محدوده ولتاژهای پایین بر عهده دارد. در حالت اتصال با Si غیر متخلخل ضریب ایده آلی مقداری بین ۱ الی ۲ داشته لکن در

اتصال با Si متخلخل این مقدار بسیار بزرگتر بوده و مقادیر بین ۱۰ تا ۱۰۰ برای آن گزارش شده است و ارتفاع سد شاتکی در این قطعات نیز حدود $5eV$ می باشد؛ ضمناً بزرگی ضریب ایده آلی در اتصالات با Si متخلخل به چگالی حالت های سطحی در فصل مشترک پیوندگاه فلز/ Si متخلخل نسبت داده می شود.

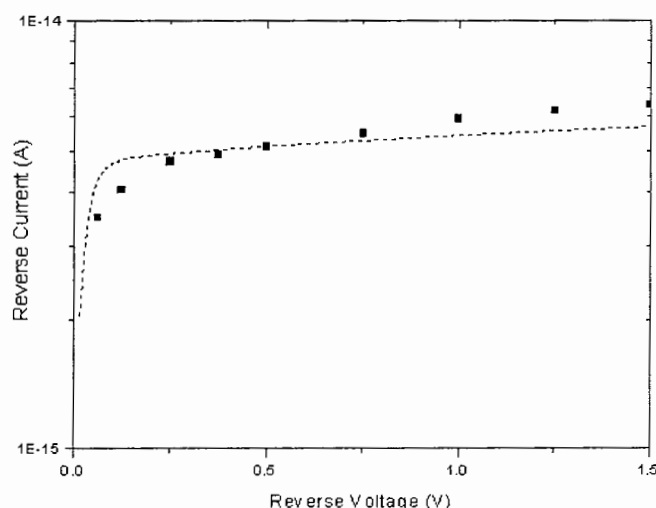
در ادامه بحث خود را به شناخت سازوکارهای مؤثر در بایاس وارون این دیودها اختصاص می دهیم.

۴-۱-۲-مشخصه $I-V$ دیودهای شاتکی در شرایط بایاس وارون

الف) مشخصه $I-V$ دیودهای شاتکی با Si غیر متخلخل

بررسی ها نشان می دهد که ترکیب سازوکارهای TE و بازترکیب نقش مهمی در تحلیل رفتار اشباعی بایاس وارون دیودهای شاتکی دارد. شکل ۴-۵ این رفتار را در قطعه شماره ۲ جدول ۱-۴ نشان می دهد. *Witmer* [۳] نشان داده است که ترکیب سازوکارهای TE و بازترکیب سهم عمده ای در انتقال حامل ها دارند. با قرار دادن معادله (۲-۸) در (۲-۲۸) و ترکیب آن با معادله (۲-۲۵) داریم:

$$I = I_T + I_R = A_{eff} A^* T^2 e^{\left(-\frac{q(\phi_b - \Delta\phi)}{kT} \right)} \left(e^{(-qV_r/kT)} - 1 \right) + I_{r0} \left(e^{(-qV_r/2kT)} - 1 \right) \quad (1-4)$$



شکل ۴-۵-مشخصه وارون دیود شاتکی ۲ [۳] و

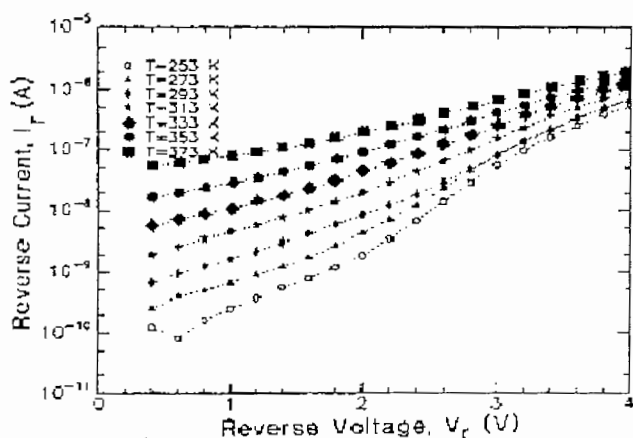
پیش بینی ترکیب سازوکار گسیل گرما-یونی و بازترکیب (خط چین).

محاسبات ما نشان می دهد که مقدار طول عمر حامل ها (τ) جهت انطباق داده های تجربی در معادله (۱-۴)، $s^{-6} = 5/5 \times 10^{-6}$ است که با مقدار گزارش شده ($s^{-6} = 8/5 \times 10^{-6}$)^[۲]، توافق نسبتا خوبی دارد، منحنی خط چین در شکل ۴-۵.

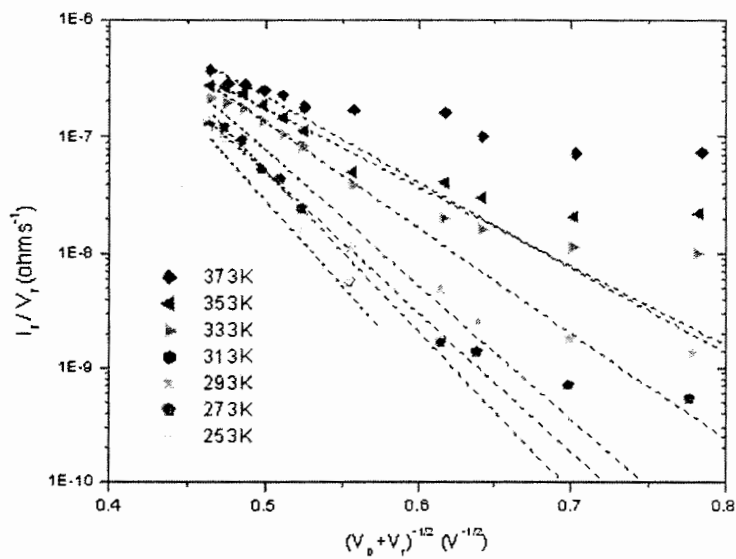
نتایج اندازه گیری Bindal et.al. در نمونه شماره ۱ (جدول ۱-۴) که لایه فلزی آن با ناخالصی $Al(Cu)$ آلاییده شده است، نشان می دهد که مشخصه $I-V$ -قطعه در ولتاژهای بزرگتر از $2/5V$ رفتاری غیر اشباعی دارد، شکل ۴-۶ وی این رفتار را در ولتاژهای بزرگتر از $2/5V$ به تونل زنی زنری حامل ها از داخل سد نسبت داده است. با قرار دادن N_D برابر $2 \times 10^{17} cm^{-3}$ و m_n برابر $0.116 m_0$ در معادله (۲-۲) خواهیم داشت:

$$V_D = \phi_b - \left(\frac{kT}{q} \right) \ln(1.5 \times 10^{-3} T^{3/2}) \quad (2-4)$$

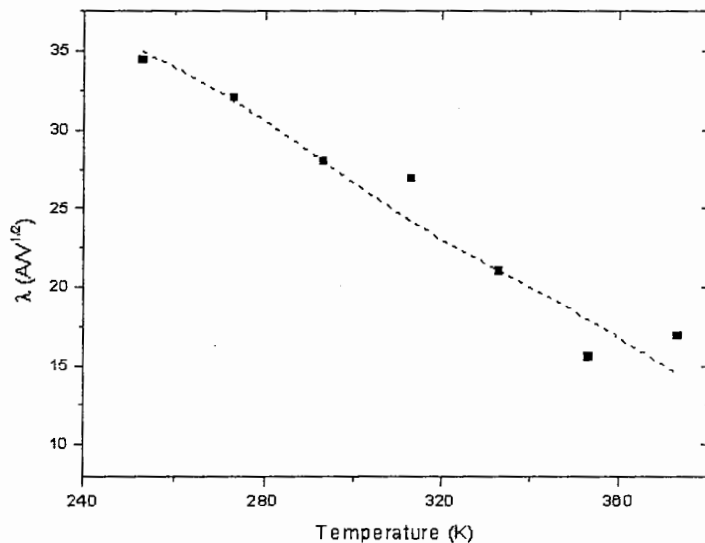
ϕ_b در این مورد $7eV$ گزارش شده است^[۲]. با ادامه دادن روندی که در بخش ۲-۲-۲ توضیح داده شد، می توان مقدار ثابت λ را در هر دما یافت. شکل ۴-۷ انطباق خطوط با شیب λ را بر منحنی های $\ln(I_r/V_r)$ بر حسب تابعی از $(V_D + V_r)^{-1/2}$ در چند دما نشان می دهد. شکل ۸-۴ چگونگی تغییرات ثابت λ را بر حسب تابعی از دما نشان می دهد که حاکی از توافق بسیار خوب بین نتایج محاسبات و مقادیر گزارش شده است. اکنون با شناخت از سازوکارهای مؤثر در رسانندگی با یاس وارون دیودهای فلز / Si به بررسی ویژگی های دیود شاتکی با متخلخل می پردازیم.



شکل ۴-۶-مشخصه $I-V$ -دیود شاتکی شماره ۱-۴ که لایه فلزی آن با آلیاژ $Al(Cu)$ آلاییده شده است. در ولتاژهای بزرگتر از $2/5V$ منحنی رفتار غیر اشباعی دارد^[۲].



شکل ۷-۴- چگونگی به دست آوردن ثابت λ از روی منحنی های $\ln(I_r/V_r)$ بر حسب تابعی از $(V_D + V_r)^{-1/2}$



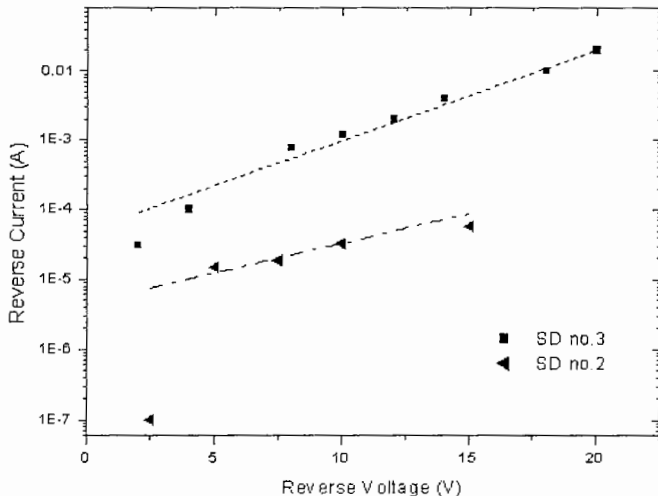
شکل ۸-۴- تغییرات λ بر حسب تابعی از دما: مربع ها و خط چین

به ترتیب نمایانگر نتایج محاسبات ما و مقادیر گزارش شده [۲] می باشد.

ب) مشخصه V - I دیودهای شاتکی با Si متخلخل

برخلاف نمونه های غیرمتخلخل، دیودهای با Si متخلخل مورد بررسی ما در بایاس وارون رفتار اشباعی نداشتند بلکه جریان با ولتاژ افزایش می یابد. به منظور شناخت هرچه بیشتر در این مورد به بررسی مشخصه V - I نمونه های گزارش شده در جدول ۲-۴ در شرایط بایاس وارون می پردازیم.

شکل ۹-۴ مشخصه V - I بایاس وارون دیودهای شاتکی متخلخل شماره های ۲ و ۳، جدول ۲-۴، را در دمای اتاق نشان می دهد. همان طور که پیداست نمونه های متخلخل در مقایسه با اغلب نمونه های عیر متخلخل رفتار غیر اشباعی دارند. برای توضیح این رفتار Oguro *et. al.* از نظریه ای با فرمول بندی نظیر سازوکار TE استفاده کرده اند، به طوری که مشابه بحث قبلی در مورد بایاس مستقیم، بخش ۱-۱-۱-ب، با مربوط کردن بزرگی ضریب ایده آلی به حالت های سطحی فصل مشترک به آن مقادیر بزرگ نسبت می دهند. منحنی های خط چین در شکل ۹-۴ نمایانگر انطباق معادله (۹-۲) است. نتایج حاصل از محاسبات ما به کمک انطباق به روش کوچکترین مربعات در مورد دیود شماره ۲ نشان می دهد که مقادیر n و ϕ_0 به ترتیب 197 و 0.98 eV است. لازم به ذکر است که مؤلف نیز ضریب ایده آلی بزرگتر از 100 را گزارش کرده است. در مورد دیود شماره ۳ نیز این مقادیر به ترتیب 129 و 0.7 eV به دست آمد.



شکل ۹-۴-مشخصه بایاس وارون دیود شاتکی شماره ۲ و ۳ [۶,۵] در دمای اتاق.

منحنی خط چین نمایانگر انطباق در معادله (۹-۲) می باشد.

این توجیه رفتار غیر اشباعی منحصر به فرد نبوده و دیگر پژوهشگران سازوکارهای دیگری را مسئول دانسته اند. به عنوان مثال *Raissi et.al.* سازوکار شکست بهمنی را مسئول این رفتار در قطعه خود، دیود شماره ۳، دانسته اند [۶].

خلاصه آنکه از بررسی مشخصه $V-I$ -*p* بایاس وارون در نمونه های غیر متخلخل مشخص می شود که چنانچه جریان غالب حامل ها ناشی از سازوکار TE و بازترکیب در تهی لایه باشد، مشخصه مزبور رفتار اشباعی نشان می دهد. یکی از فرایندهای ممکن در تفسیر رفتار غیر اشباعی فرایند تونل زنی زنری از داخل سد می باشد. در نمونه های متخلخل نیز غالبا مشخصه $V-I$ -*p* رفتار غیر اشباعی داشته و گزارش ها حاکی از آن است که سازوکار TE با ضرایب ایده آلی بزرگ (بالاتر از ۱۰۰) به خوبی داده های تجربی را توجیه می کند. البته سازوکار شکست بهمنی نیز دور از انتظار نمی باشد.

اکنون که با رفتار پیوندگاه های شاتکی با Si نوع n آشنا شدیم، به بررسی مشخصه $V-I$ -*p* دیودهای شاتکی حاصل از اتصال فلز با Si نوع p می پردازیم.

۴-۲- بررسی مشخصه $V-I$ -*p* دیودهای شاتکی فلز / Si نوع p

در این بخش قصد داریم به تحلیل مشخصه $V-I$ -*p* دیود های سد شاتکی فلز / Si نوع p غیر متخلخل و متخلخل در شرایط بایاس مستقیم و وارون بپردازیم. برخی از ویژگی های نمونه های غیر متخلخل و متخلخلی که مورد بررسی قرار گرفته اند در جداول ۴-۶ و ۷-۴ آورده شده است.

جدول ۴-۶- برخی ویژگی های دیودهای فلز / Si نوع p .

فلز/اتصال	مساحت مؤثر (cm^2) دیود	مقاومت ویژه (Ωcm) زیرلایه	سمتگیری زیرلایه Si	پژوهشگر	شماره
<i>PtSi</i>	$1/83 \times 10^{-3}$	۱۰-۲۰	(۱۱۱)	<i>Pellegrini</i> [۱۰]	۱
<i>ITO</i>	۰/۰۸	۶-۱۶	(۱۱۱)	<i>Xu</i> [۱۱]	۲
<i>Sn, Zn</i>	$0/77 \times 10^{-3}$	۸۶۰	(۱۰۰)	<i>Karatas</i> [۱۲]	۳
<i>Al</i>	۰/۵	-	(۱۱۱)	<i>Siad</i> [۱۲]	۴
<i>PtSi</i>	۲	۱۲-۳۳	(۱۰۰)	<i>Raissi</i> [۱۴]	۵

جدول ۷-۴- برخی ویژگی های دیودهای فلز / Si متخلخل نوع p . مقادیر ذکر شده در داخل پرانتز در ستون

درصد تخلخل پیش بینی ما مبتنی بر مطلب بخش ۱-۳-۱ است و مؤلف گزارشی در این مورد نداشته است.

درصد تخلخل	روش / ایجاد تخلخل / چگالی جریان (mA/cm ²)	فلز اتصال	مساحت مؤثر دیود (cm ²)	مقاومت ویژه زیرلایه (Ωcm)	سمتگیری زیرلایه Si	پژوهشگر	شماره
(۰/۸۰)	خوردگی الکتروشیمیایی / ۱۵۰	Al	-	۵۰	(۱۱۱)	Dimitrov [۶]	۱
-	خوردگی شیمیایی	ITO	۰/۰۸	۶-۱۶	(۱۱۱)	Xu [۱۱]	۲
۰/۱۰ ۰/۵۰	خوردگی الکتروشیمیایی / ۵۰	$PtSi$	۲	۱۳-۳۳	(۱۰۰)	Raissi [۱۴]	۳
۰/۷۰	خوردگی الکتروشیمیایی / ۲۰	Au	-	۶	(۱۰۰)	Montes [۱۵]	۴

۱-۲-۴- مشخصه V - دیودهای شاتکی در شرایط بایاس مستقیم

الف) مشخصه V - دیودهای شاتکی با Si غیر متخلخل

شكل ۱۰-۴-الف مشخصه V - بایاس مستقیم مربوط به دیودهای فلز / Si غیر متخلخل شماره

۱ (جدول ۴-۶) را در گستره دمایی ۹۰-۱۲۰ کلوین و شکل ۱۰-۴-ب نمونه های ۳، ۲ و ۴ (در همین

جدول) را در دمای اتاق نشان می دهد. محاسبات ما مؤید آنست که در همه موارد جریان غالب ناشی

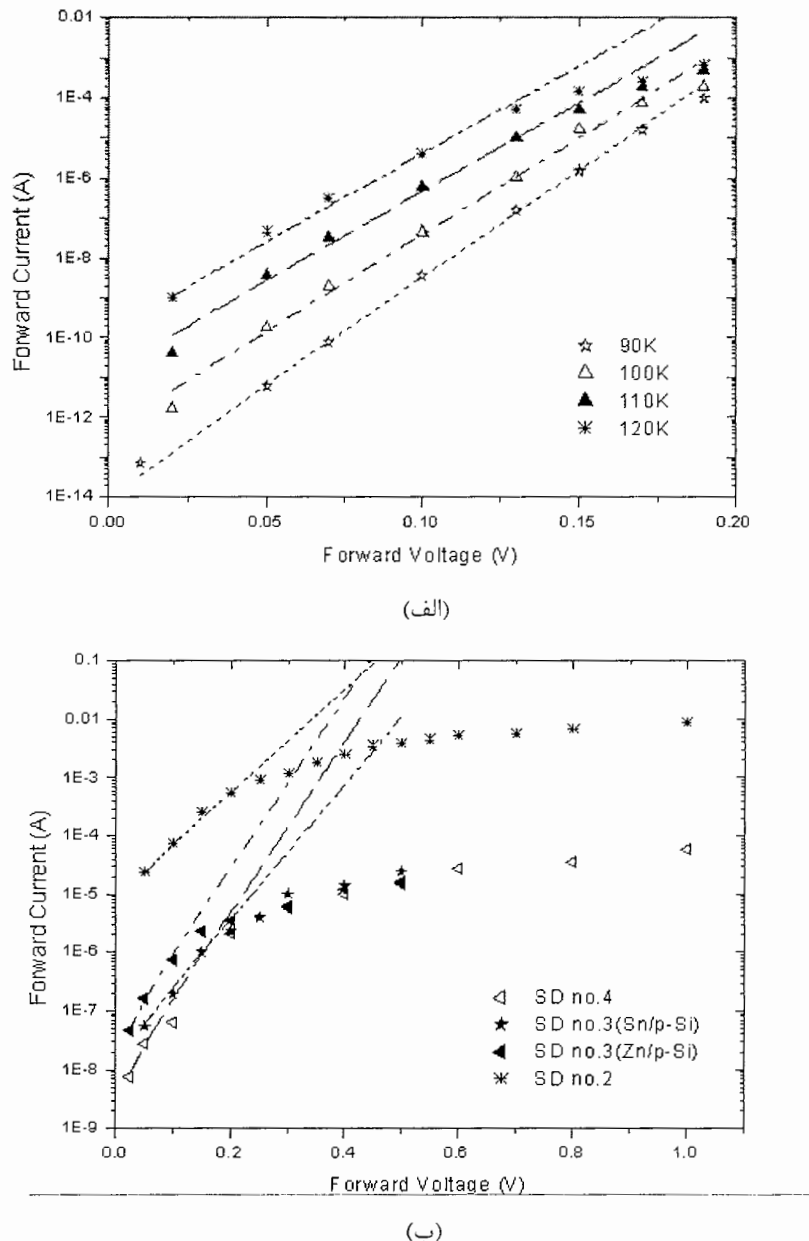
از گسیل گرما- یونی حامل ها از بالای سد شاتکی، معادله (۹-۲)، است که به صورت منحنی های

خط چین در شکل نشان داده شده است. مقادیر ضریب ایده آلی و ارتفاع سد شاتکی به عنوان

پارامترهای انطباق در جدول ۸-۴ آورده شده است. مقایسه مقادیر به دست آمده و گزارش شده که

حاکی از توافق بسیار خوبی است نشانگر صحت تحلیل نظری ماست. با توجه به این

محاسبات (جدول ۴-۸) ملاحظه می شود که مقادیر ضریب ایده آلی مشابه بحث قبلی در مورد نمونه های نوع n ، بخش ۱-۱-۱-الف، مقادیر ۱ تا ۲ داشته و ارتفاع سد شاتکی نیز بسته به نوع فلز از $0.09 eV$ تا $0.13 eV$ متغیر است.



شکل ۴-۱۰-۴ - مشخصه بایاس مستقیم دیود شاتکی (الف): نمونه شماره ۱ در جدول (۶-۴) در گستره دمایی ۹۰-۱۲۰ کلوین [۱۰] و (ب): نمونه های ۴،۳،۲ در دمای اتاق (در همین جدول) [۱۳،۱۲،۱۱]. منحنی خط چین نمایانگر انطباق نظریه گسیل گرما-یونی می باشد.

جدول ۴-۸- مقادیر ضریب ایده آلی و ارتفاع سد محاسبه شده و

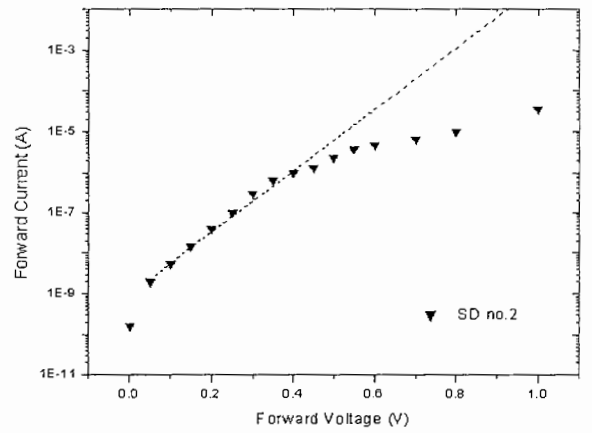
مقادیر گزارش شده برای نمونه های غیر متخلخل جدول ۴-۶.

نمونه		۱	۲	۳	۴
محاسبه شده	n	۱/۰۲	۱/۹	Zn ۱/۱۵	Sn ۱/۴۵
	$\phi_b (eV)$	-۰/۳۲	-۰/۶۲	۰/۷۲۵	-۰/۷۴۱
گزارش شده	n	-	۱/۵	۱/۲۷	۱/۲۲
	$\phi_b (eV)$	-۰/۲۹۲	-	۰/۷۲۵	-۰/۷۳۲

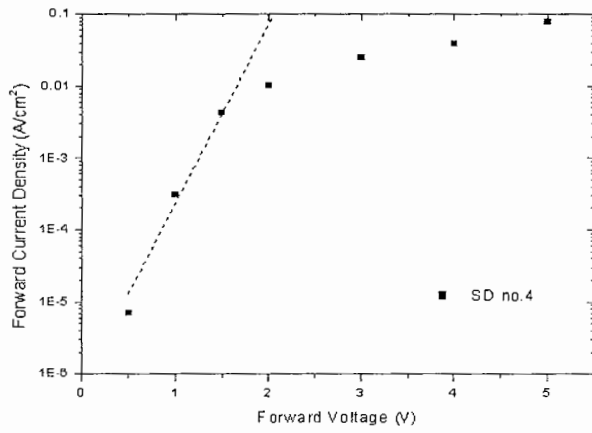
اکنون با شناخت از سازوکارهای مؤثر در رسانندگی بایاس مستقیم دیودهای فلز / Si به بررسی ویژگی های دیودهای با Si متخلخل می پردازیم.

ب) مشخصه $V-V$ دیودهای شاتکی با Si متخلخل

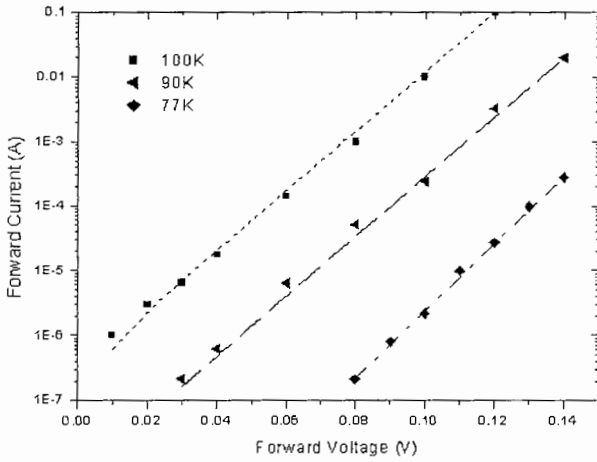
شكل های ۱۱-۴ مشخصه $V-V$ بایاس مستقیم دیودهای ۲، ۳ و ۴، جدول ۷-۴، را نشان می دهد. در مورد دیود شاتکی با Si متخلخل نوع p در شرایط بایاس مستقیم، سازوکار غالب به گسیل گرما- یونی، معادله (۹-۲)، نسبت داده شده است [۱۵.۱۴.۱۱.۷]. نتیجه این نظریه در منحنی های خط چین در شکل ۱۱-۴، و مقادیر متناظر برای انطباق در مورد این قطعات در جدول ۹-۴ آمده است. همان گونه که از محدوده انطباق مربوط به ولتاژ اعمالی ملاحظه می شود، این فرایند نمونه های با اتصالات فلزی متفاوت در محدوده ولتاژهای اعمالی پایین (کمتر از ۲V) غالب است. با استفاده از این مجموعه داده ها می توان ارتفاع سد پتانسیل (ϕ_b) را، که کمیت مهمی در عملگری آشکارسازهای مادون قرمز بوده و در گفتار پنجم مورد بررسی قرار گرفته اند، به دست آورد. با توجه به این محاسبات، (جدول ۹-۴)، ملاحظه می شود که بسته به جنس فلز اتصال، بزرگی ϕ_b از $0.2 eV$ تا $0.8 eV$ متغیر است. نکته جالب توجه در جدول ۹-۴ بزرگتر بودن ضریب ایده آلی (بین ۲ تا ۷) نسبت به دیودهای با Si معمولی است. بعلاوه گزارش های دیگری نیز مبنی بر بزرگ بودن ضریب ایده آلی در شرایط بایاس مستقیم وجود دارد [۱۸.۱۷.۱۶.۹.۷].



(الف)



(ب)



(ج)

شکل ۱۱-۴- مشخصه بایاس مستقیم دیودهای شاتکی متخلخل (الف): شماره ۲ [۱۱] و (ب): شماره ۴ [۱۵] در دمای اتاق و (ج): شماره ۳ با تخلخل ۵۰٪ [۱۴]. منحنی های خط چین نمایانگر انطباق نظریه گسیل گرما- یونی است.

جدول ۴-۹- مقادیر ضریب ایده آلی و ارتفاع سد محاسبه شده و

مقادیر گزارش شده برای نمونه های متخلخل جدول ۷-۴.

نمونه	محاسبه شده		گزارش شده	
	n	$\phi_b (eV)$	n	$\phi_b (eV)$
۲	۲/۲	۰/۱۵	۲/۱	-
۳	۱/۲	۰/۲۵	۱/۵	۰/۲۲
۶	۶/۷	۰/۷۵	۶/۷	-

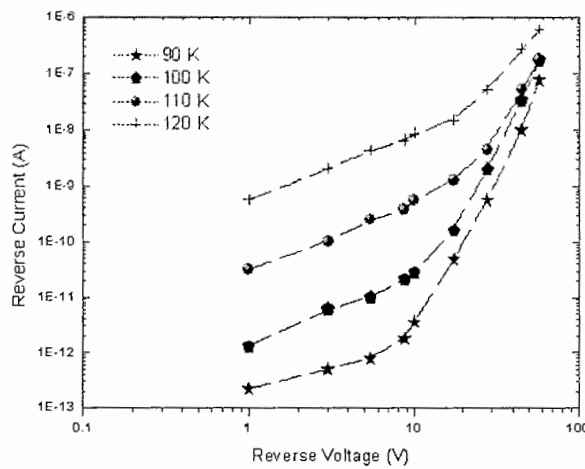
به طور خلاصه می توان گفت که سازوکار TE سهم عمدت ترابری حامل ها را در شرایط بایاس مستقیم در دیودهای شاتکی با Si غیر متخلخل و متخلخل نوع p بر عهده دارد. در حالت اتصال با Si غیر متخلخل ضریب ایده آلی مقداری بین ۱ الی ۲ داشته لکن در اتصال با Si متخلخل این مقدار بزرگتر بوده و مقادیر بین ۲ تا ۶ برای آن گزارش شده است؛ ضمناً ارتفاع سد شاتکی اتصالات اخیر با توجه به جنس اتصال فلزی $0.2/8$ الی $0.8/10$ الکترون ولت به دست می آید.

در ادامه بحث خود را به شناخت سازوکارهای مؤثر در بایاس وارون دیودهای فلز / Si اختصاص می دهیم.

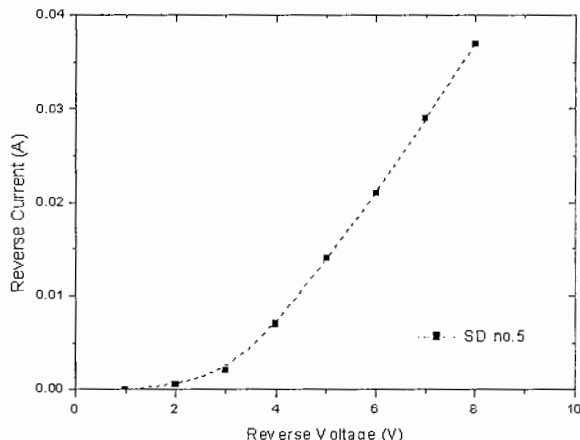
۴-۲-۲- مشخصه $V-V$ دیودهای شاتکی در شرایط بایاس وارون

الف) مشخصه $V-V$ دیودهای شاتکی با Si غیر متخلخل

شکل ۱۲-۴ مشخصه $V-V$ بایاس وارون دیودهای ۱ و ۵ (جدول ۴-۶) را نشان می دهد. پیداست که نمونه ۱ در $V_V = 10$ و نمونه ۳ در $V_V = 20$ رفتار غیراشباعی دارند. بررسی های ما مشخص کرده است که می توان برای توجیه رفتار مشخصه این دیودها در محدوده ولتاژ های مذکور از ایده تونل زنی زنری که در بخش ۱-۴-الف، برای تحلیل رفتار غیر اشباعی دیودهای فلز / Si غیر متخلخل نوع n استفاده شد، کمک بگیریم.



(الف)



(ب)

شکل ۱۲-۴- مشخصه بایاس وارون نمونه(الف): شماره ۱ در گستره دمایی ۹۰-۱۲۰ کلوین و

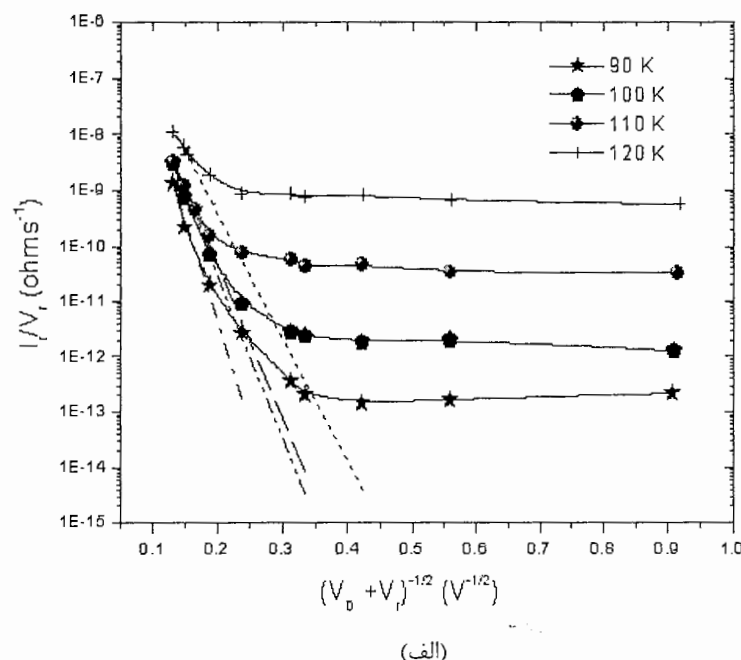
(ب): شماره ۵ در دمای اتاق [۱۴.۱۰].

با قرار دادن $N_D = 1 \times 10^{14} \text{ cm}^{-3}$ و $m^* = 0.55 m_0$ در معادله (۱۵-۲) خواهیم داشت:

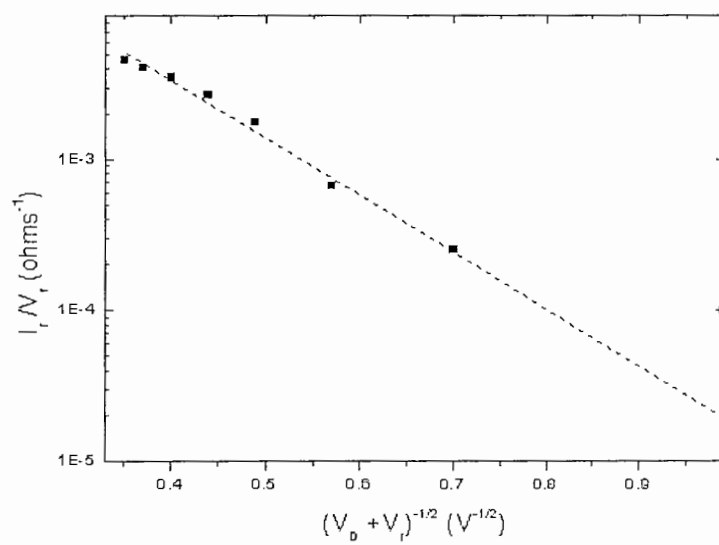
$$V_D = \phi_b - \left(\frac{kT}{q} \right) \ln(19.604 T^{3/2}) \quad (13-4)$$

ارتفاع سد شاتکی برای نمونه های ۱ و ۵ به ترتیب $eV = 0.22$ و 0.29 می باشد [۱۴.۱۰]. شکل ۱۳-۴ منحنی های $\ln(I_r/V_r)$ بر حسب تابعی از $(V_D + V_r)^{-1/2}$ را برای دیودهای مزبور نشان می دهد. با پیدا کردن شب خطوط مماس بر این منحنی ها می توان ثابت λ را به دست آورد. این

ثابت برای دیود شماره ۵ در دمای اتاق، در حدود ۹ به دست آمد. نتایج ما درباره تغییرات ثابت λ با دما در مورد نمونه ۱ در جدول ۱۰-۴ آمده است.



(الف)



(ب)

شکل ۱۳-۴- منحنی های $\ln(J_r/V_r)$ بر حسب تابعی از $(V_D + V_r)^{-1/2}$

(الف): دیود شماره ۱ و (ب): دیود شماره ۵.

جدول ۱۰-۴- مقادیر ثابت λ محاسبه شده در دمای های مختلف برای دیود شماره ۱.

همانطور که انتظار داریم با افزایش دما λ کوچکتر می شود.

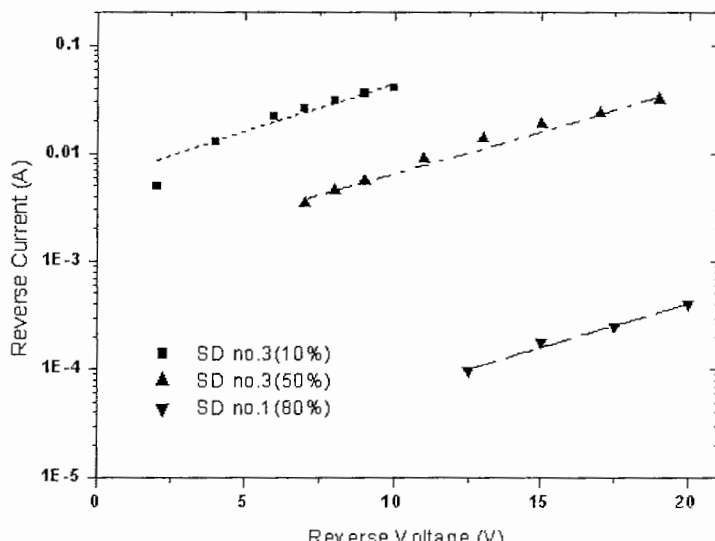
$I(K)$	۹۰	۱۰۰	۱۱۰	۱۲۰
$\lambda(A/V^{1/2})$	۸۵	۶۷	۶۳	۵۱

در ادامه توجه خود را به شناخت سازوکارهای مؤثر در رسانندگی بایاس وارون دیودهای

فلز / Si متخلخل معطوف می کنیم.

ب) مشخصه $V - I$ - دیودهای شاتکی با Si متخلخل

شکل ۱۴-۴ مشخصه $V - I$ - بایاس وارون دیودهای شاتکی متخلخل ۱ و ۳، جدول ۴-۷، را در دمای اتاق نشان می دهد. در این مورد نیز مشابه دیودهای شاتکی فلز / Si متخلخل نوع n ، بخش ۴-۱-۲-ب، شاهد رفتار غیر اشباعی هستیم. لذا Dimitrov برای توجیه این رفتار از فرمول بندی سازوکار TE با ضرایب ایده آلی بزرگ، معادله (۹-۲)، استفاده کرده است [۷]. منحنی های خط چین در شکل ۱۴-۴ نمایانگر انطباق نظریه گسیل گرما- یونی می باشد. نتایج محاسبات ما درباره مقادیر ارتفاع سد شاتکی و ضریب ایده آلی و مقادیر گزارش شده در جدول ۱۱-۴ آورده شده است.



شکل ۱۴-۴- مشخصه وارون دیودهای شاتکی متخلخل ۱ و ۳ در دمای اتاق.

منحنی های خط چین نشان دهنده سازوکار TE است.

جدول ۱۱-۴- مقادیر ضریب ایده آلی و ارتفاع سد محاسبه شده و

مقادیر گزارش شده نمونه های متخلخل جدول ۷-۴

نمونه	محاسبه شده			گزارش شده	
	n	$\phi_b (eV)$	n	$\phi_b (eV)$	
۱	۲۰۷	۰/۵۵۵	۱۹۶	۰/۵۵۵	
۳	%۱۰ ۱۹۳ %۵۰ ۲۱۲	۰/۵۴ ۰/۵۸	-	-	

افزایش ضریب ایده آلی با زیادتر شدن درصد تخلخل در نمونه شماره ۳ را می توان به دلیل افزایش چگالی حالت های سطحی در سطح Si متخلخل دانست. لازم به ذکر است که این توجیه رفتار غیر اشباعی منحصر به فرد نبوده و دیگر پژوهشگران سازوکارهای دیگری را مسئول دانسته اند. به عنوان مثال *Raissi et.al.* سازوکار شکست بهمنی را مسئول رفتار غیر اشباعی دیود شماره ۳ دانسته اند [۱۴].

بدین ترتیب بررسی های ما درباره مشخصه V - I دیودهای شاتکی فلز/ Si نوع p حاکی از وجود رفتار غیر اشباعی در بایاس وارون این دیودها می باشد. درمورد نمونه های غیر متخلخل این رفتار به کمک سازوکار تونل زنی از داخل سد و در مورد نمونه های متخلخل با استفاده از گسیل گرما- یونی حامل ها با ضرایب ایده آلی بزرگ ($n = 100$) از بالای سد توجیه می شود. علاوه بر این، فرضیات دیگری نیز برای توجیه بزرگ بودن جریان الکتریکی بایاس وارون اتصال های شاتکی متصور است که از آن جمله می توان به تشکیل لایه وارونی در محل اتصال فلز با Si متخلخل [۸] و سازوکار شکست بهمنی به دلیل میدان های الکتریکی قوی [۱۴] اشاره کرد. اینکه حقیقتا کدام یک از سازوکارهای قید شده سهم بیشتری در تراپری حامل ها در بایاس وارون نمونه های متخلخل به عهده دارد، مساله ایست که بررسی های بیشتری را طلب می کند.

۴-۳- نتیجه گیری

در اتصالات شاتکی فلز / Si غیر متخلخل و متخلخل نوع n ، سازوکار TE سهم عمدۀ تراپری حامل‌ها را در شرایط بایاس مستقیم و در محدوده ولتاژ‌های پایین بر عهده دارد. در حالت اتصال با Si غیر متخلخل ضریب ایده آلی مقداری بین ۱/۵ الی ۱ داشته، لکن در اتصال با Si متخلخل این مقدار بسیار بزرگتر و بین ۱۰ تا ۱۰۰ گزارش شده است. بزرگی ضریب ایده آلی به چگالی حالت‌های سطحی بالا در فصل مشترک پیوندگاه فلز / Si متخلخل نسبت داده شده است.

در مورد اتصالات فلز با Si غیر متخلخل نوع n که به صورت وارون بایاس شده‌اند، چنانچه جریان غالب حامل‌ها ناشی از سازوکار گسیل گرما-یونی و بازترکیب در تهی لایه باشد، مشخصه رفتار اشباعی دارد. رفتار غیر اشباعی در این نمونه‌ها به کمک فرایند تونل زنی زنری از داخل سد توجیه می‌شود. نمونه‌های با Si متخلخل در این شرایط رفتاری غیر اشباعی دارند. برخی محققین این رفتار را به کمک سازوکار TE با ضرایب ایده آلی بزرگ (بالاتر از ۱۰۰) توصیف کرده و برخی دیگر سازوکار شکست بهمنی را دخیل می‌دانند.

در دیودهای شاتکی با Si غیر متخلخل و متخلخل نوع p ، سازوکار TE جریان غالب حامل‌ها را در شرایط بایاس مستقیم بر عهده دارد. در حالت اتصال با Si غیر متخلخل ضریب ایده آلی مقداری بین ۱ الی ۲ داشته، لکن در اتصال با Si متخلخل این مقدار بزرگتر بوده و بین ۲ تا ۶ است. با توجه به کوچکی ارتفاع سد شاتکی در اتصال $Si/PtSi$ متخلخل نوع p (حدود $0.2 eV$) از این دیود در قطعات آشکارساز تابش مادون قرمز استفاده می‌شود.

مشخصه $V-I$ بایاس وارون دیودهای شاتکی فلز / Si غیر متخلخل و متخلخل نوع p رفتار غیر اشباعی دارند. در مورد نمونه‌های غیر متخلخل برای این رفتار در مقالات علتی ذکر نشده لکن ما از مقایسه با نمونه‌های نوع n آن را به سازوکار تونل زنی زنری از داخل سد نسبت داده ایم. در نمونه‌های متخلخل این رفتار با استفاده از سازوکار گسیل گرما-یونی حامل‌ها با ضرایب ایده آلی بزرگ (n) توضیح داده می‌شود. علاوه بر این نظریات دیگری نیز برای توجیه این رفتار پیشنهاد شده است که از آن جمله می‌توان به شکل گیری لایه وارونی در محل اتصال فلز با Si و نیز وقوع پدیده شکست بهمنی به دلیل میدان‌های الکتریکی قوی در قسمت‌های نوک تیز اتصالات فصل مشترک اشاره کرد.

مراجع

- 1- L.T.Canham, D.Malvern,1997: properties of porous Silicon,INSPEC.
- 2- A.Bindal, R.Wachnik, W.Ma,1990: Observation of recombination cener- assisted current in Al(Cu) penetrated PtSi/ Schottky diodes, *J.Appl. Phys.*68(12),6259-6262.
- 3- M.Witmer,1991: Conduction mechanism in PtSi/Si Schottky diodes, *Physical Review B*,43(5),4385-4895.
- 4- G.Algun, M.C.Arikan,1999:An investigation of electrical properties of porous Silicon,*Tr.J. of Phys.*,23,789-797.
- 5- T.Oguro, H.Koyama, T.Ozaki, N.Koshida,1997: Mechanism of visible electroluminescence from metal/ porous silicon/ n-Si devices, *J. Appl. Phys.*,81(3),1407-1412.
- 6- F.Raissi, N.A.Sheeni,2003: Highly sensitive near IR detectors using n-type porous silicon, *Sensors & actuators A*,104,117-120.
- 7- D.B.Dimitrov,1995: Cyrrent-voltage characterization os porous silicon layers, *Physical Review B*,51(3),1562-1566
- 8- L.A.Balagurov, S.C.Bayliss, V.S.Kasatachkin, E.Petrova, B.Unal, D.G.Yarkin,2001: Transport of carriers in metal/ porous Silicon/ C-Si devise structures based on oxidized porous Silicon, ,*J. Appl. Phys.*90(9),4543-4548.
- 9- F.Namavar, P.Maruska, N.Kalkhoran,1992: Visible electroluminescence from porous Silicon np heterojunctions diodes, *Appl. Phys. Lett.*60(20),2514-2516.
- 10- P.W.Pellegrini, C.E.Ludington, M.M.Weeks,1990: The dependence of Schottky barrier potential on substrate orientation in PtSi IR diodes, *J. Appl. Phys.*,67(3),1417-1420.
- 11- J.Xu, A.J.Stechl,1995: Stain-etched porous Silicon visible light emitting diodes,*J.Vac. Sci. technol. B*,13(3),1221-1224.
- 12- S.Karatas,2005: Comparision of electrical parameters of Zn/p-Si & Sn/p-Si Schottky barrier diodes, *Solid state communication*,135,500-504.
- 13- M.Siad, A.Keffous, S.Mamma, Y.Belkacem, H.Menari,2004: Correlation between series resistance & parameters of Al/n-Si & Al/p-Si Schottky barrier,*Appl. Surface sci.*,236,366-376.
- 14- F.Raissi, M.Mohtashami Far,2002: Highly sensitivePtSi/porous Silicon detectors, *IEEE Sensors journal*,2(5),476-481.
- 15- L.Montes, R.Herino,2000: Luminescence & structural properties with ZnSe intimate contact, *Materials Science & EngineeringB*, 69-70,136-141.
- 16- M.Ben,1995,*Physical Review B(USA)*,49,2981-4.

- 17- L.Pavesi, M.Ceschini, G.Mariotto, E.Janghelini, O.Bisi, 1994: Spectroscopic investigation of electroluminescent porous Silicon, *J. Appl. Phys.* 75(2), 1118-1126.
- 18- N.Latic, 1996, *J. Appl. Phys.*, 80, 5971.

کَفَتاً) پنجم

بررسی تاثیر متخلخل سازی بر عملکرد

$PtSi / p - Si$ آشکارساز شاتکی

مقدمه •

مشخصه $I-V$ آشکارساز $PtSi / p - Si$ تحت تابش •

بررسی مشخصه پاسخ در آشکارساز شاتکی $PtSi / p - Si$ •

نتیجه گیری •

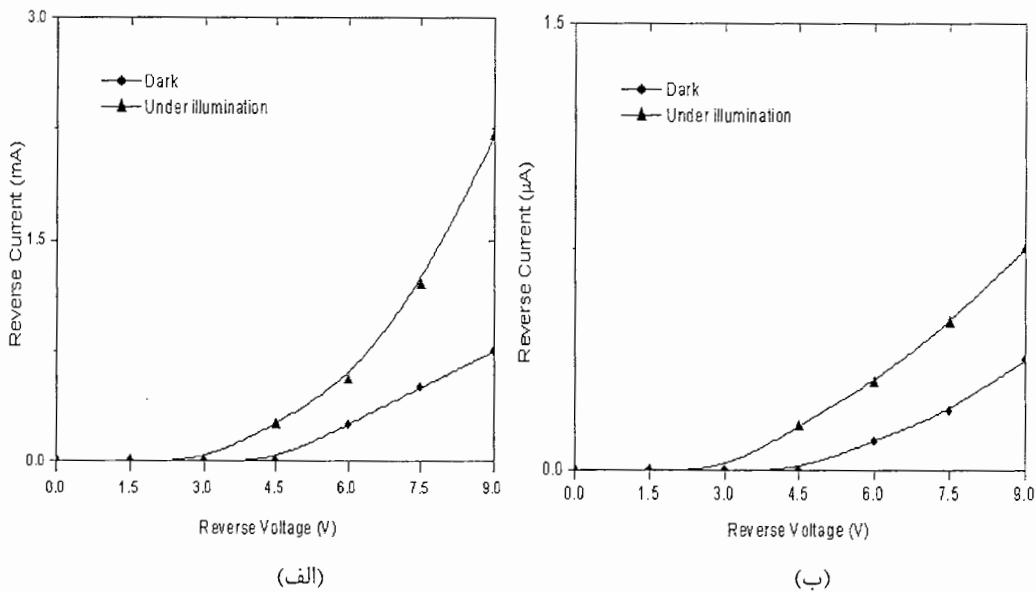
مقدمه

در گفتار قبل به تحلیل مشخصه V - Si دیودهای شاتکی اتصالات فلز / Si غیر متخلخل و متخلخل در شرایط تاریکی پرداختیم، در این گفتار قصد داریم با وارد کردن اثر تابش در مشخصه V - Si اتصالات مذکور به تحلیل رفتار مشخصه پاسخ در آشکارسازهای شاتکی $PtSi$ / Si غیرمتخلخل و متخلخل پرداخته و تحلیل هایی کیفی برای توجیه علت تفاوت حساسیت این آشکارسازها را ارائه دهیم.

۱-۵-مشخصه V - Si آشکارساز تحت تابش

در این بخش به بررسی اثر تابش با طول موج معین روی مشخصه V - Si آشکارساز شاتکی $PtSi$ / Si غیر متخلخل و متخلخل نوع p می پردازیم. گزارش ها نشان می دهد که آشکارسازهایی که در آن از Si متخلخل استفاده شده در مقایسه با آشکارسازهای معمولی نسبت به تابش حساس ترند [۴،۳،۲،۱]. نمونه مورد بررسی در این بخش، آشکارساز شاتکی $PtSi$ / Si نوع p است که ویژگی نوع غیرمتخلخل و متخلخل آن به ترتیب در جداول ۶-۴ و ۷-۴ آورده شده است. همان گونه که در گفتار سوم توضیح داده شد، از آنجا که از این قطعه برای آشکارسازی در دمای پایین (۷۷ کلوین) استفاده می شود، لذا ما نیز توجه خود را به بررسی رفتار این قطعه در این دما معطوف کرده ایم.

شکل ۱-۵-الف و ب به ترتیب مشخصه V - Si / $PtSi$ بایاس وارون آشکارساز شاتکی Si متخلخل و غیرمتخلخل را در شرایط تاریکی و تحت تابش با طول موج $2\mu m$ در دمای ۷۷ کلوین نشان می دهد. با توجه به مقیاس انتخابی برای محور جریان در این شکل، پیداست که قطعه ای که در آن از Si متخلخل استفاده شده در اثر تابش جریان وارون بزرگتری (قریباً ۱۰۰۰ برابر) را نسبت به نمونه مشابه با Si غیرمتخلخل عبور می دهد. این پدیده ناشی از افزایش پاسخ قطعه می باشد که در بخش ۲-۵ توضیح داده شده است.



شکل ۵-۱- مشخصه $I-V$ بایاس وارون آشکارساز $PtSi / p-Si$ در شرایط تاریکی و تحت تابش در دمای ۷۷ کلوین (الف): متخلخل و (ب) غیر متخلخل [۱].

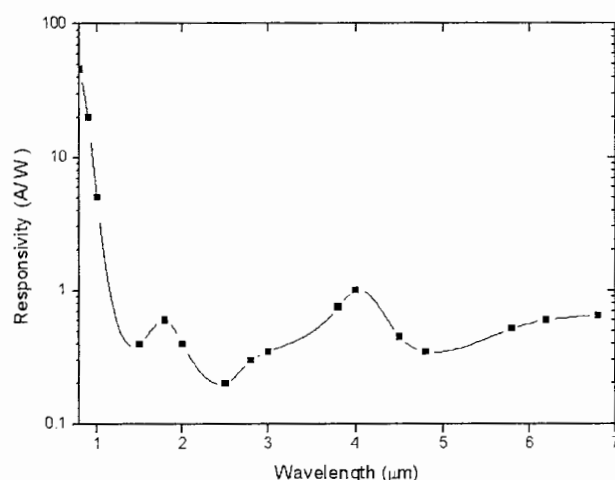
۵-۲- بررسی مشخصه پاسخ در آشکارساز شاتکی $PtSi / p-Si$

در این بخش نخست به مقایسه مشخصه پاسخ آشکارساز $p / PtSi / Si$ متخلخل نوع p (جدول ۵-۴) که مشخصه $I-V$ آن در بخش قبل ارائه شد، با آشکارساز $Si / PtSi$ غیرمتخلخل نوع p گزارش شده توسط *Tsaur et.al.* [۵] پرداخته، سپس در ادامه به توجیه کیفی افزایش پاسخ در قطعه متخلخل می پردازیم.

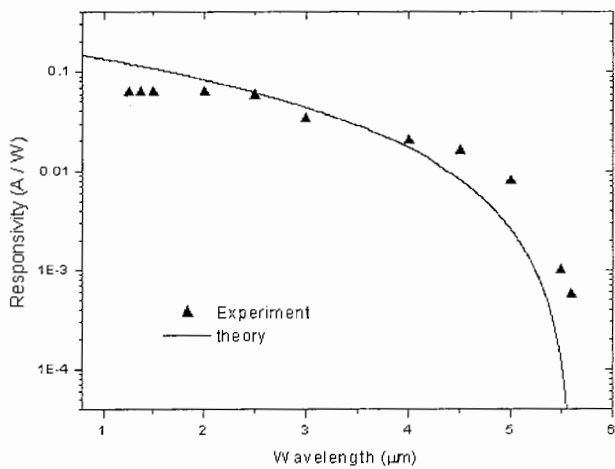
برای به دست آوردن پاسخ، قطعه مورد بررسی را به همراه آشکارسازهای $InSb$ یا Ge کالیبره در شرایط یکسانی از پشت (یعنی از سمت Si) تحت تابش (در طول موج معین) قرار داده، سپس با داشتن اختلاف جریان آشکارساز کالیبره (در شرایط تابش نسبت به تاریکی) و معلوم بودن پاسخ آن، با استفاده از معادله (۳-۵)، توان منبع را به دست می آورند. با قرار دادن توان منبع و اختلاف جریان نمونه مورد نظر (نسبت به حالت تاریکی) در معادله (۳-۵)، پاسخ قطعه به دست می آید [۱].

شکل ۵-۲-الف و ب به ترتیب مشخصه پاسخ قطعه متخلخل در ولتاژ وارون $V = 10V$ [۳]، و داده های تجربی مربوط به آشکارساز $Si / PtSi$ غیرمتخلخل نوع p [۵] را که به ازای ضریب C_1 برابر $0.2 V^{-1}$ (که در بخش ۳-۱-۳ اشاره شد) و ارتفاع سد شاتکی $0.22 eV$ (اتصال $PtSi / p-Si$) به خوبی در

رابطه فاولر، معادله (۳-۶)، منطبق گردیده است نشان می دهد. با مقایسه پاسخ قطعه متخلخل و غیرمتخلخل دو نکته قابل توجه است: (۱) تغییرات پاسخ قطعه متخلخل از رابطه فاولر، که در نمونه های غیر متخلخل صادق است، پیروی نکرده خصوصا در $1/\lambda^5 \mu m$ شاهد افزایش بسیار سریع پاسخ می باشیم؛ به طوری که به ازای طول موج $\lambda = 87 \mu m$ مقدار پاسخ نسبت به مقدار نظری، شکل ۲-۵-ب، در حدود ۱۰۰۰ برابر افزایش پیدا کرده است. این افزایش احتمالاً می تواند ناشی از جذب بیشتر فوتون ها در لایه سیلیساید باشد که منجر به تولید حامل های بیشتری می شود. البته تایید این گفته نیاز به بررسی های تجربی بیشتر دارد.



(الف)



(ب)

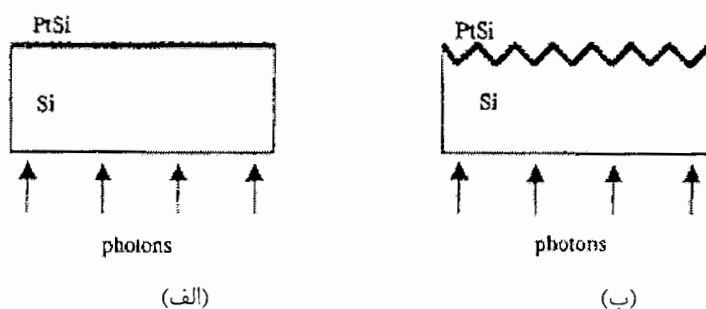
شکل ۲-۵- مشخصه پاسخ بر حسب طول موج در دمای ۷۷ کلوین آشکارساز p - $Si / PtSi$ نوع

(الف): متخلخل [۳] و (ب): غیر متخلخل که در معادله فاولر به خوبی صدق کرده است [۵].

(۲) در طول موج های بالاتر از $5/6 \mu m$ ، طول موج قطع (بخش ۲-۱-۳)، پاسخ همچنان قابل ملاحظه است. برای این مساله و همچنین افزایش پاسخ در قطعه متخلخل، در ادامه تفسیرهایی ارائه کرده ایم.

۵-۱-۲-۱- بررسی کیفی عملکرد و علل افزایش پاسخ آشکارساز $Si / PtSi$ متخلخل نوع p

پدیده هایی چون شکست بهمنی و تونل زنی زنری می توانند از جمله فرایندهای دخیل در عملکرد قطعات متخلخل باشند. علاوه بر این متخلخل نمودن Si ممکن است به طرق مختلفی در افزایش پاسخ در آشکارسازهای شاتکی اثر بگذارد. آشکار است که مهم ترین تفاوتی که سطح متخلخل نسبت به سطح هموار دارد، افزایش ناهمواری های سطح آن است (شکل ۳-۵). در ادامه این بخش به بررسی بیشتر این عوامل می پردازیم.



شکل ۳-۵- برش عرضی آشکارسازی که در آن از Si (الف) غیر متخلخل و (ب) متخلخل استفاده شده است.

توجه کنید که تعداد فوتون های تابشی برای هر دو قطعه یکسان است [۱].

(الف) پدیده تونل زنی

در بخش ۴-۲ شرح دادیم که شرط اساسی وقوع فرایند شکست زنری و تکثیر بهمنی وجود میدان الکتریکی بالا در محل پیوندگاه است. فرضیه محتمل این است که متخلخل کردن Si سبب افزایش میدان الکتریکی در بخش های نوک تیز اتصال $PtSi / Si$ شده و تا جایی تشدید شود که با خم کردن نوار انرژی (که پهنهای تونل زنی را کم می کند) احتمال وقوع تونل زنی را افزایش دهد. فرایند تونل زنی در آشکارسازهای متخلخل حتی حامل های کم انرژی را قادر می سازد که از داخل سد عبور کرده و وارد Si شوند. بنابراین در اثر این فرایند آشکارسازی به فوتون هایی که انرژی شان بزرگتر از سد باشد، محدود نخواهد بود. بنابراین به نظر می رسد که فرایند تونل زنی

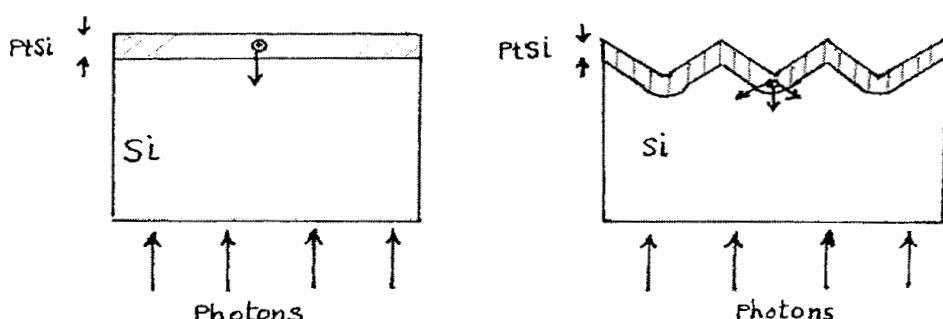
مسئول گسترش مشخصه پاسخ آشکارساز $Si / PtSi$ متخخل در طول موج های بزرگتر از طول موج قطع، $5/6 \mu m$ ، باشد، شکل ۲-۵-الف.

(ب) افزایش ناهمواری های سطحی

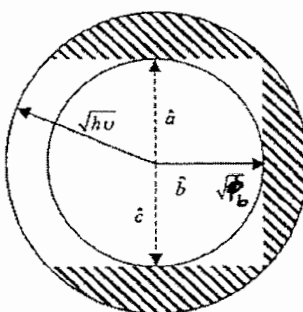
ایجاد تخلخل در سطح Si به افزایش ناهمواری های سطحی سیلیساید منجر می شود. تاثیر این پدیده در افزایش پاسخ آشکارساز را می توان به موارد زیر نسبت داد:

- ۱- افزایش احتمال عبور حفره های داغ در جهت های مختلف از سیلیساید به Si ؛
- ۲- جذب فوتون ها در کاوک های حاصل از خلل و فرج ها در لایه سیلیساید.

همانطور که در بخش ۳-۱-۱ شرح دادیم، کسری از حامل های داغ می توانند به داخل نیمرسانای Si تزریق شوند که مؤلفه عمودی اندازه حرکت آنها در فصل مشترک سیلیساید و Si برای غلبه بر سد شاتکی کافی باشد، شکل ۳-۳. در آشکارساز $Si / PtSi$ متخخل، حفره های داغ برای رسیدن به Si ، با توجه به شکل ۴-۵-الف، سطوح متعددی در جهات مختلف پیش روی دارند و در صورتی که مؤلفه عمودی اندازه حرکت آنها بر هر یک از سطوح، از ارتفاع سد شاتکی بیشتر باشد، امکان تزریق را به داخل Si پیدا می کنند. بنابراین تعداد حفره های داغی که برآورده چنین شرطی هستند به جای یک قطاع در یک جهت، چندین قطاع را در جهات مختلف شامل خواهند شد، شکل ۴-۵-ب.



(الف)

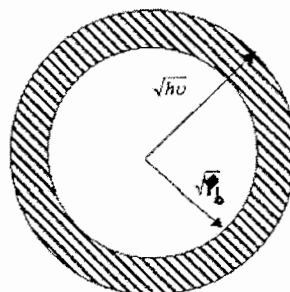


(ب)

شکل ۴-۵-(الف) متخال خل کردن Si احتمال تزریق حفره های داغ را بیشتر می کند،

(ب) طرح ساده ای نمایانگر کسری از حامل ها در فضای اندازه حرکت که توانایی عبور از سد را دارند [۱].

در حالت حدی، با کوچکتر شدن ابعاد خلل و فرج ها و افزایش تعداد و جهت گیری سطوح لایه سیلیساید، تغییرات زاویه فضایی θ تمام جهات را در بر خواهد گرفت. بنابراین فرایند آشکارسازی به تعداد قطاع های زیادی مربوط می شود که می توان آنها را به صورت یک پوسته کروی، ناحیه سایه خورده در شکل ۵-۵، در نظر گرفت [۶، ۱].



شکل ۵-۵- حامل های داغ در فضای اندازه حرکت در تمام جهات قادرند از سد شاتکی عبور کنند [۱].

علاوه بر افزایش احتمال عبور حفره های داغ بیشتر، وجود خلل و فرج ها به تشکیل کاواک هایی با ابعاد میکرومتری و در بعضی موارد کوچکتر می انجامد، همان گونه که در بخش ۳-۱-۳ توضیح داده شد، استفاده از کاواک نوری در آشکارسازها، راهی برای افزایش جذب فوتون ها در لایه سیلیساید است. تشکیل کاواک های نوری باعث بازتاب های مکرر فوتون ها از دیواره های کاواک شده و این سرانجام به افزایش احتمال گیر افتادن (جذب) آنها در لایه سیلیساید می انجامد.

در مجموع هریک از عواملی که در این گفتار بررسی شد ممکن است به تنها یی یا همراه با سازوکارهای دیگر سبب بهبود پاسخ قطعه متخلخل شود. اینکه کدام فرایند نقش بیشتری بر عهده دارد، مساله ایست که برای پاسخ به آن باید اثر پارامترهای مختلفی از جمله درصد تخلخل، شکل خلل و فرج و برآورد اندازه میدان الکتریکی در نقاط نوک تیز و... را در نظر گرفت. لذا شناخت همه جانبه این موضوع امری بسیار پیچیده بوده و نیاز به بررسی های بیشتری دارد.

۳-۵- نتیجه گیری

مقایسه مشخصه های جریان- ولتاژ تحت تابش آشکارساز $Si/PtSi$ غیر متخلخل و متخلخل نوع p در شرایط بایاس وارون، حاکی از افزایش مقیاس محور جریان از μA به mA است. همچنین بررسی مشخصه پاسخ در قطعه غیر متخلخل و متخلخل نشان می دهد که پاسخ نمونه متخلخل از رابطه فاولر، که در قطعات غیرمتخلخل صادق است، پیروی نکرده و در ناحیه طول موجی $1/5$ الی 4 میکرومتر در حدود یک مرتبه بزرگی تغییر پیدا می کند. جالب آنکه در طول موج های پایین تر از $1/5 \mu m$ پاسخ به شدت افزایش یافته به طوری که در طول موج $87 \mu m$ به حدود 1000 برابر می رسد. همچنین پاسخ در قطعه متخلخل در طول موج های بالاتر از طول موج قطع در نمونه های غیر متخلخل، همچنان قابل ملاحظه است. به نظر ما ویژگی نخست می تواند ناشی از ناهمواری های سطح و همچنین افزایش جذب سیلیساید در اثر متخلخل سازی سیلیکون و دومین اثر حاصل فرایند تونل زنی حفره ها از داخل سد شاتکی باشد.

تاثیر ناهمواری های سطحی سیلیساید در افزایش پاسخ را می توان به افزایش احتمال عبور حفره های داغ در جهات مختلف از این لایه به Si و نیز افزایش جذب فوتون ها در کاوک های به وجود آمده در لایه سیلیساید نسبت داد. از طرفی افزایش میدان الکتریکی در بخش های نوک تیز پیوندگاه ممکن است تا جایی تشدید شود که با خم کردن نوار انرژی (که پهنه ای تونل زنی را کم می کند). احتمال وقوع تونل زنی را افزایش دهد. این فرایند سبب می شود که حفره هایی که به لایه Si تزریق می شوند لزوماً انرژی ای بزرگتر از ارتفاع سد شاتکی نداشته باشند. این امر می تواند دلیلی بر گسترش مشخصه پاسخ در طول موج های بالاتر از $87 \mu m$ باشد.

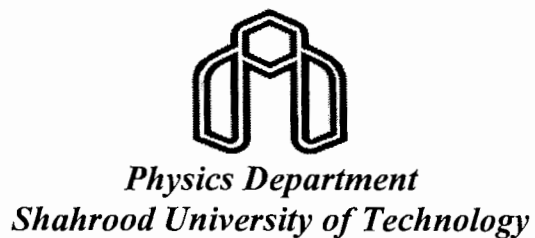
مراجع

- 1 -F.Raissi,2003, *A possible explanation for high quantum efficiency of PtSi/Porous silicon Schottky detectors,IEEE transactions on electron device,50(4),1134.*
 - 2-F.Raissi,M.Abrishamian, T.Emadi,2004, *Single electron effect in PtSi/Porous silicon Schottky jonctions,IEEE transactions on electron device.*
 - 3- F.Raissi, M.Mohtashami Far 2002, *Highly sensitive PtSi/Porous silicon Schottky detectors,IEEE sensors journal2(5),476-481.*
 - 4- S.Dhar, S.Chakrabarti,2000.*large photoresponse of CdO/Porous silicon diodes,semicond. Sci. technol.15,L39-L40.*
 - 5- B.Y.Tsaur, M.M.Weeks, P.W.Pellegrini,1988: *Pt-Ir silicide Schottky-Barrier IR detectors, IEEE Electron device letters,9(2),100-103.*
- ۶- منصور محتشمی فر، ۱۳۷۹، اثر سلیکون متخلخل بر روی کارایی کوانتمی آشکارساز $PtSi / Si$ ، پایان نامه کارشناسی ارشد، دانشگاه صنعتی مالک اشتر

Abstract

In this thesis we have studied the various transport mechanisms which are involved in metal/ Si(porous and regular) Schottky diodes in forward and reverse bias(FB & RB), also in dark and illumination conditions. The experimental data shows in n-type regular RB the I-V characteristic has a standard behavior, while it is not the case in n and p-type porous substrates. This has been formulated using thermionic emission(TE) with an idealy factor bigger than 100. These figures have been related to the high surface density at the metal/ porous Si interface. Our analysis of the FB data shows the Schottky barrier height(ϕ_b) in metal/ porous Si(n) is about 0.5eV and for metal/ porous Si(p), depending on the kind of the metal, it is a value between 0.2-0.8 eV. Due to the fact that for Schottky diode infrared detectors a smaller barrier height is more preferable and efficient, and with PtSi as the metal contact, we have the least height (0.2 eV), it is the best choice for this purpose.

A comparison of I-V characteristics of PtSi/ Si(p- type) for regular and porous conditions under illumination shows when the substrate is porous the I- axis scale changes from μA to mA. Also their responsivity in porous samples increase by about one order of magnitude between 1.5-4 μm . Beyond this wavelength range some interesting phenomena happens. (1) below 1.5 μm responsivity increases sharply, so that at 0.87 μm it reaches a value about 3 orders of magnitude bigger than a regular substrate, (2) responsivity extends even more the cut- off wavelength(λ_c) in regular samples. We expect the former effect is due to the surface roughness, as well as more absorption in PtSi layer because of Si porosity; and the later effect is due to the hole tunneling through the Schottky barrier.



***Study of Electrical Properties of Porous Silicon
and it's Effect on the Operation of Semiconductor
Devices(Detectors with Schottky Barrier)***

By:

Maryam Mohammadi

*Submitted in Partial Fulfilment
Of the Requirements
For Degree of
Master of Science
in*

Solid State Physics

Under Supervision of:

**Dr. Hosein Eshghi
Dr. Farshid Raissi**

February 2006